

**Министерство образования и науки Российской Федерации**

**ФЕДЕРАЛЬНОЕ ГОСУДАРСТВЕННОЕ БЮДЖЕТНОЕ**

**ОБРАЗОВАТЕЛЬНОЕ УЧРЕЖДЕНИЕ ВЫСШЕГО ОБРАЗОВАНИЯ**

**НАЦИОНАЛЬНЫЙ ИССЛЕДОВАТЕЛЬСКИЙ УНИВЕРСИТЕТ «МЭИ»**

**Институт Радиотехники и электроники им. В.А. Котельникова**

**Кафедра Формирования и обработки радиосигналов**

**КУРСОВОЙ ПРОЕКТ**

**по дисциплине «Методы и устройства цифровой обработки сигналов»**

**Тема: «Цифровая обработка сигналов на микроконтроллере»**

Студент, гр. ЭР-15-15

\_\_\_\_\_

(подпись)

Жеребин В.Р.

Руководитель, ст. преподаватель

\_\_\_\_\_

(подпись)

Филатов В.А.

Москва

2018

## СОДЕРЖАНИЕ

	Задание	3
1.	Самостоятельная домашняя проработка	4
1.1.	Определение структуры, основных требований и параметров к микропроцессорной системе (МПС) обработки сигналов.	4
1.2.	Полная принципиальная схема МПС.	5
1.3.	Алгоритмы основной программы и необходимых подпрограмм.	6
1.4.	Теоритический анализ свойств цифрового фильтра.	13
1.5.	Реализация и отладка алгоритмов основной программы и подпрограмм на языке Ассемблера и в кодах микроконтроллера PIC18F2520. Полная программная документация.	17
2.	Моделирование и отладка проекта в MPLAB X.	21
2.1.	Ввод подготовленной программы и исходных данных в память микроконтроллера для отладки в MPLAB.	21
2.2.	Отладка в симуляторе MPLAB SIM.	21
2.3.	Проверка правильности полученных результатов.	38
3.	Проверка правильности функционирования МПС при помощи модуля PICkit	39
	Заключение	42

## ЗАДАНИЕ

Цель проекта – познакомиться с аппаратным построением цифровых систем обработки сигналов с использованием механизма прерываний и встроенных в микроконтроллер устройств ввода-вывода (АЦП, таймер, последовательный порт USART), практическое освоение приемов цифровой обработки сигналов с использованием микроконтроллера PIC18F2520 и выполнение программы с использованием отладчика PICkit. Индивидуальное задание предусматривает обработку отрезка сигнала длительностью 1 секунда, состоящего из 256 8-битных отчета, которые необходимо записать в массив **A**. Результат обработки массива **A** сохранить в массив **B**, а так же вывести значения массива **B** через последовательный порт с заданной скоростью.

## 1. САМОСТОЯТЕЛЬНАЯ ДОМАШНЯЯ ПРОРАБОТКА

### 1.1. Определение структуры, основных требований и параметров к микропроцессорной системе (МПС) обработки сигналов.

- Канал приема и канал передачи сигналов.
- Тактирование МПС.
- Задействованные аппаратные модули МК и связанные с ним внешние выводы.
- Питание МК.
- Необходимые внешние соединения, цепи обеспечения и согласования с периферийными устройствами.
- Функциональное распределение выводов микросхемы МК.

Для формирования массива А в МПС использую вход *AN0* АЦП, с которого по нажатии кнопки подключенной к выводу (*RB0/INT0*), происходит прерывание основной программы, оцифровка аналогового сигнала с частотой 256 выборок в секунду и запись старших 8 бит в массив А. Во время формирования массива включается светодиод на *RB2*. После записи 256 отчетов сигнала в массив А светодиод *RB2* продолжает гореть и происходит возврат из прерывания в основную программу для обработки этого отрезка сигнала, при этом включается светодиод на *RB3*. После завершения обработки и записи в массив В, включается светодиод на *RB4* и запускается передача массива по USART. По завершении передачи включается светодиод на *RB5* и ожидается нажатие кнопки на *RB1*. Тактирование МПС происходит от внутреннего тактового генератора с стабильной частотой 4 МГц. Питание МК производится от постоянного напряжения +5В. Этот же источник питания используется и для подачи постоянной составляющей сигнала на вход АЦП.

## 1.2. Полная принципиальная схема МПС.

Полная принципиальная схема МПС представлена на рисунке 1.1

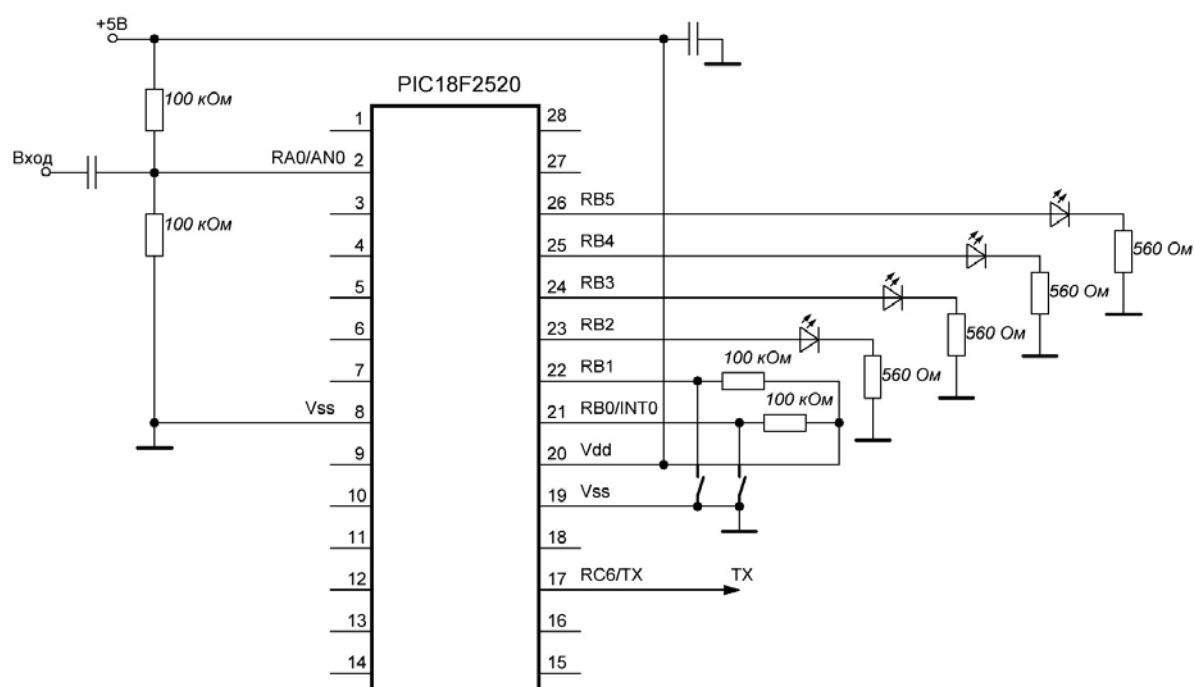
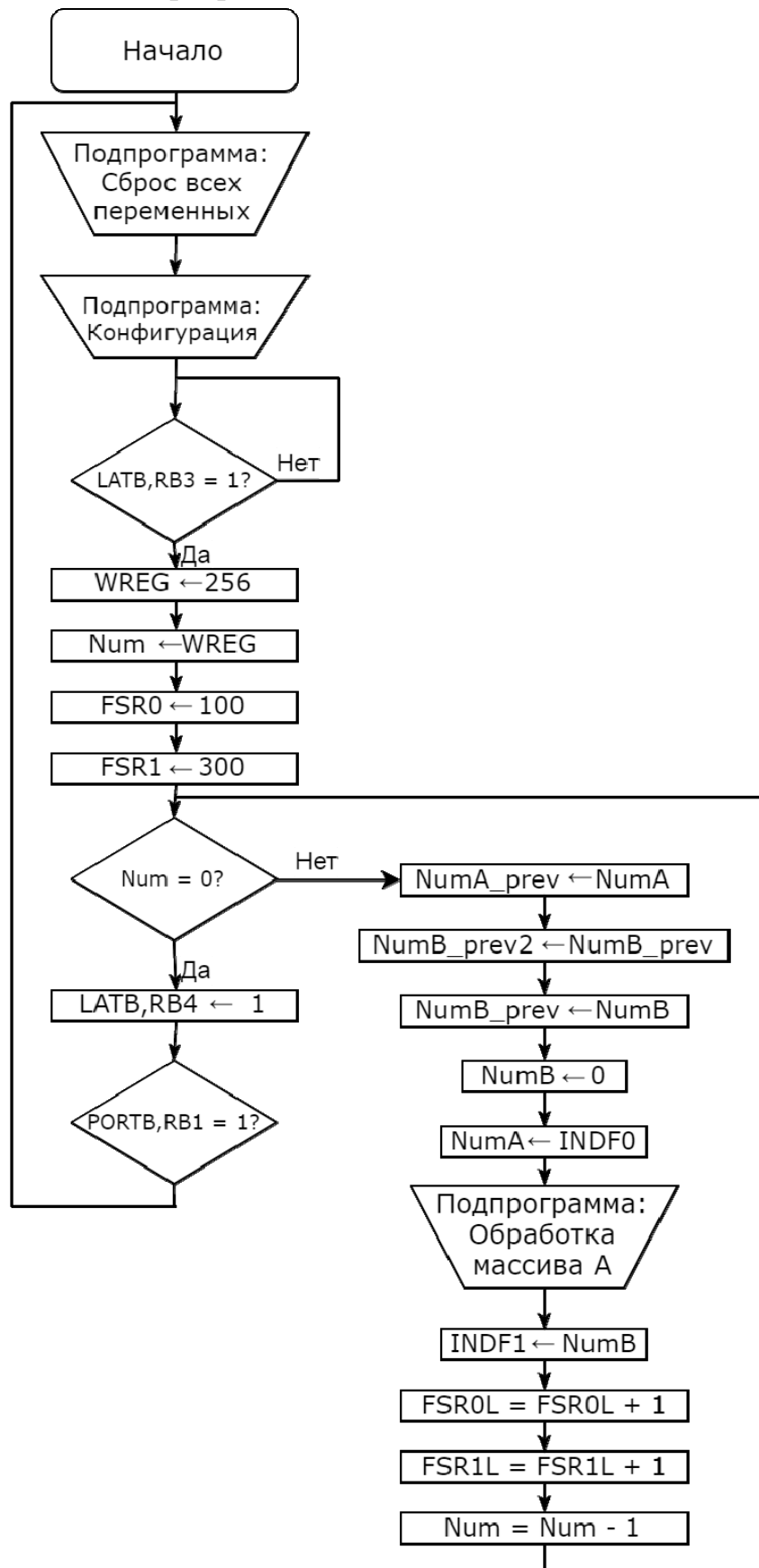


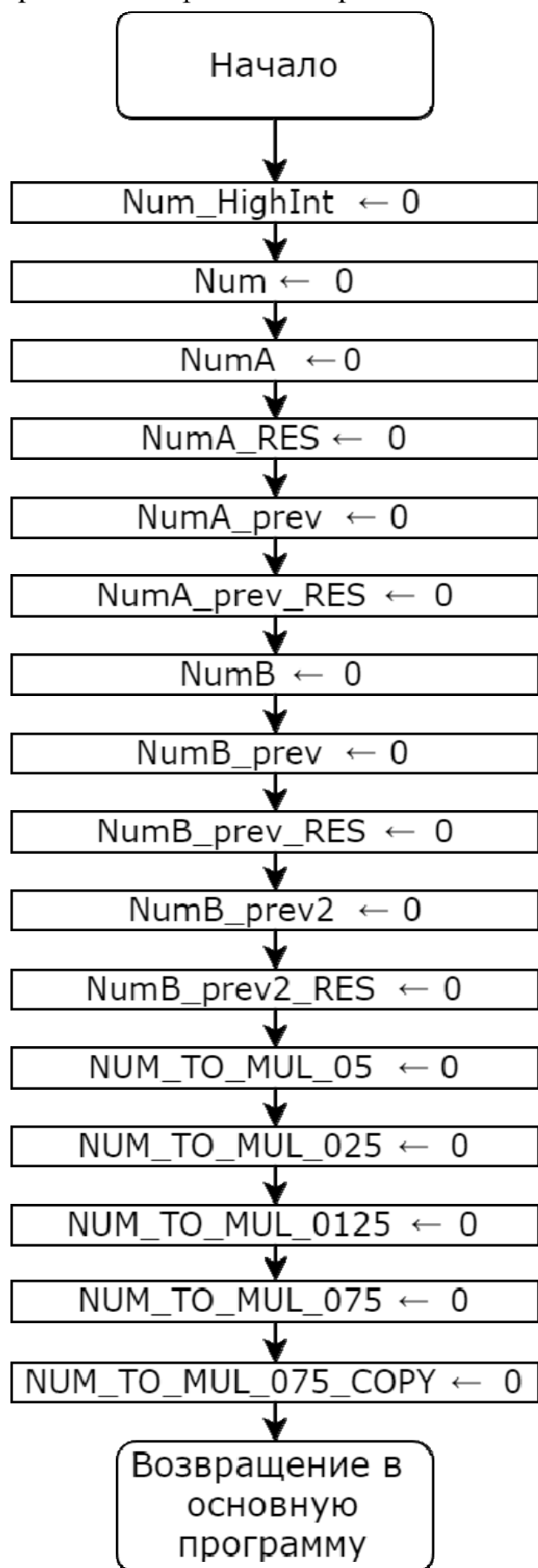
Рисунок 1.1 – Полная принципиальная схема МПС.

### 1.3. Алгоритмы основной программы и необходимых подпрограмм.

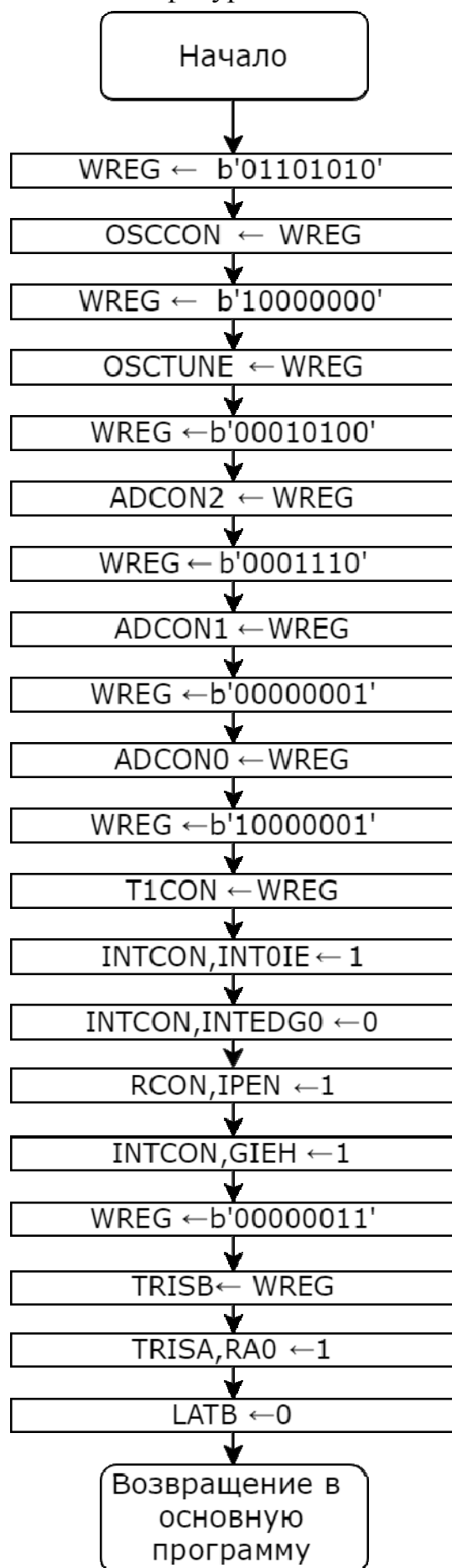
Алгоритм основной программы:



Алгоритм подпрограммы – Сброс всех переменных:

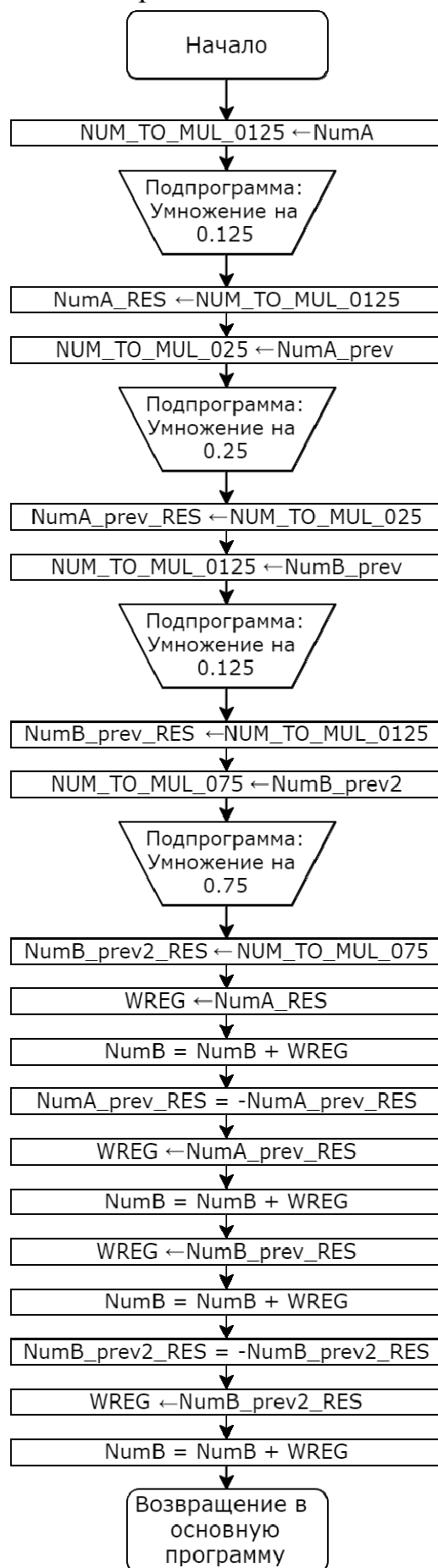


Алгоритм подпрограммы – Конфигурация:

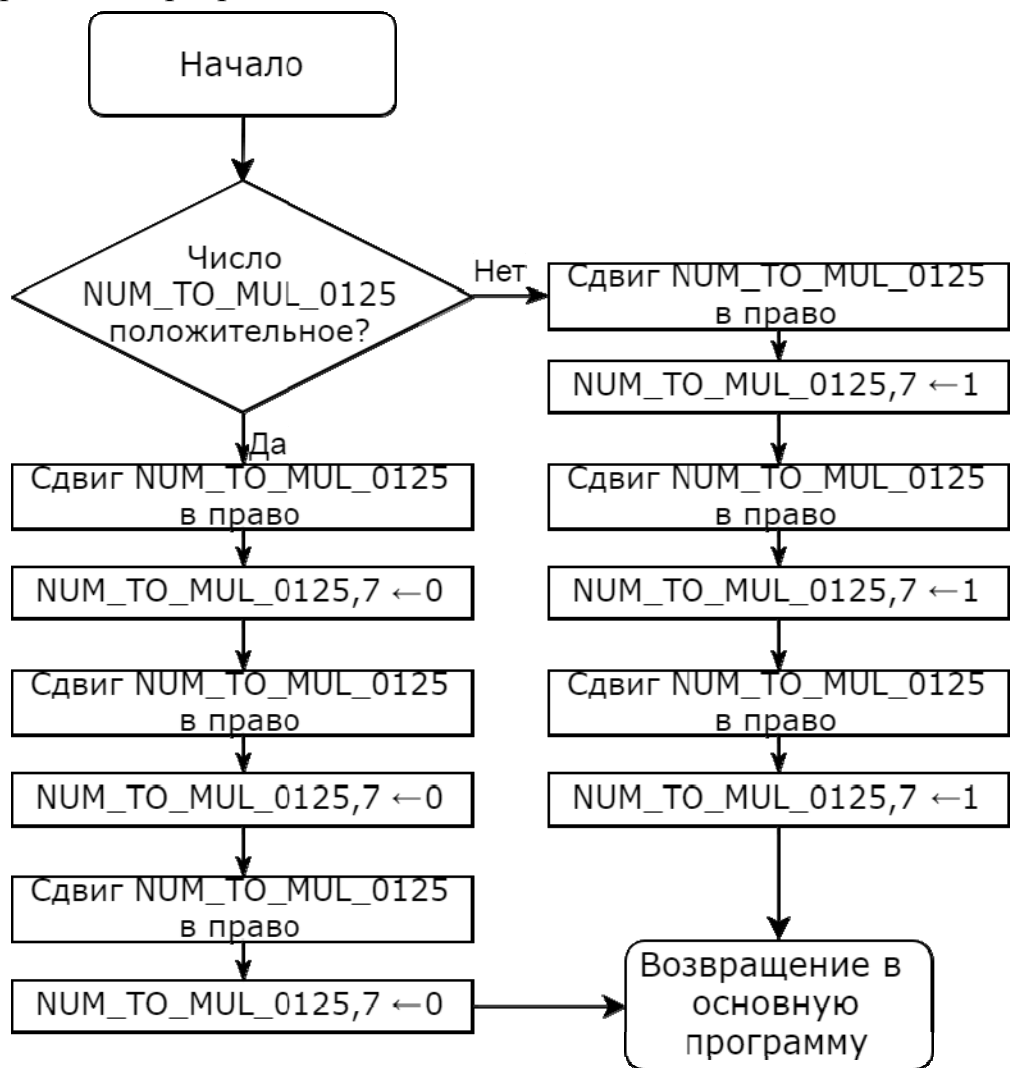




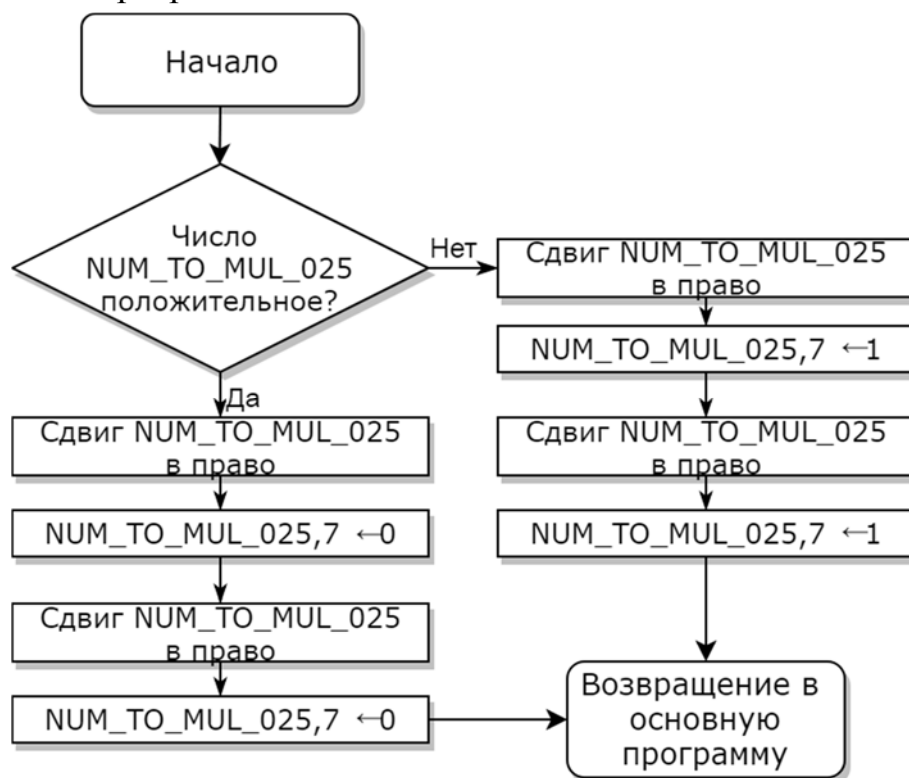
# Алгоритм подпрограммы – Обработка массива А:



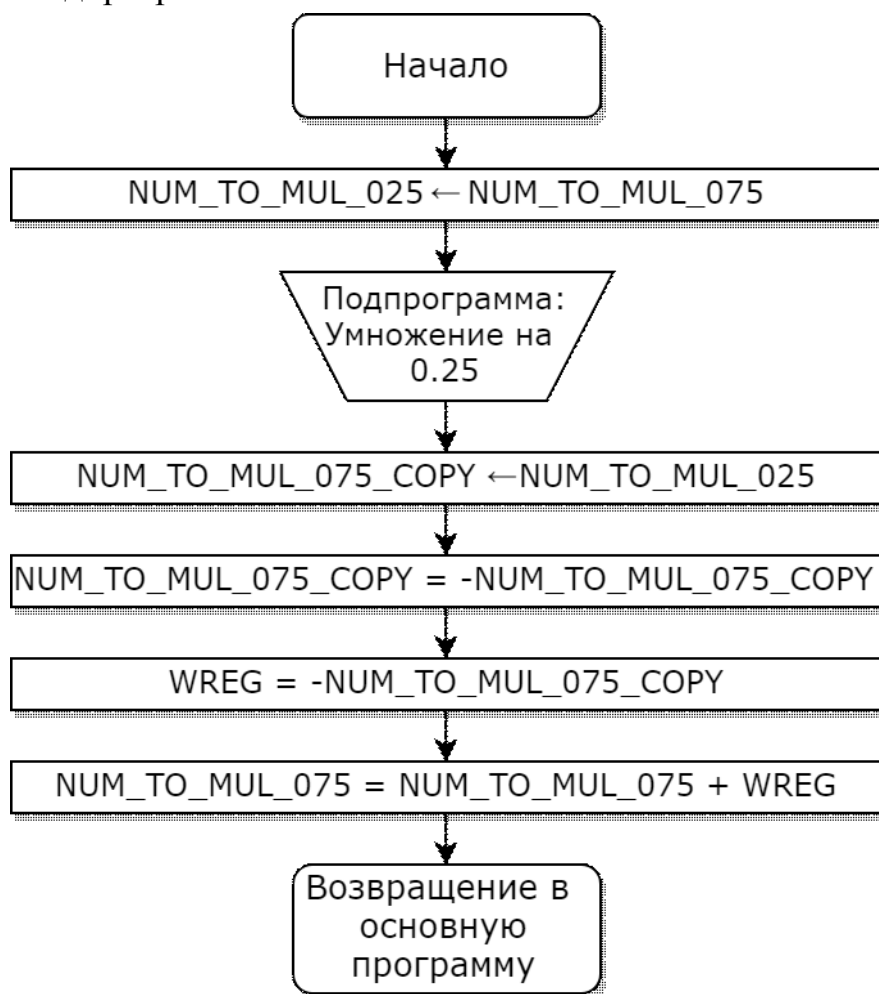
Алгоритм подпрограммы – Умножение на 0.125:



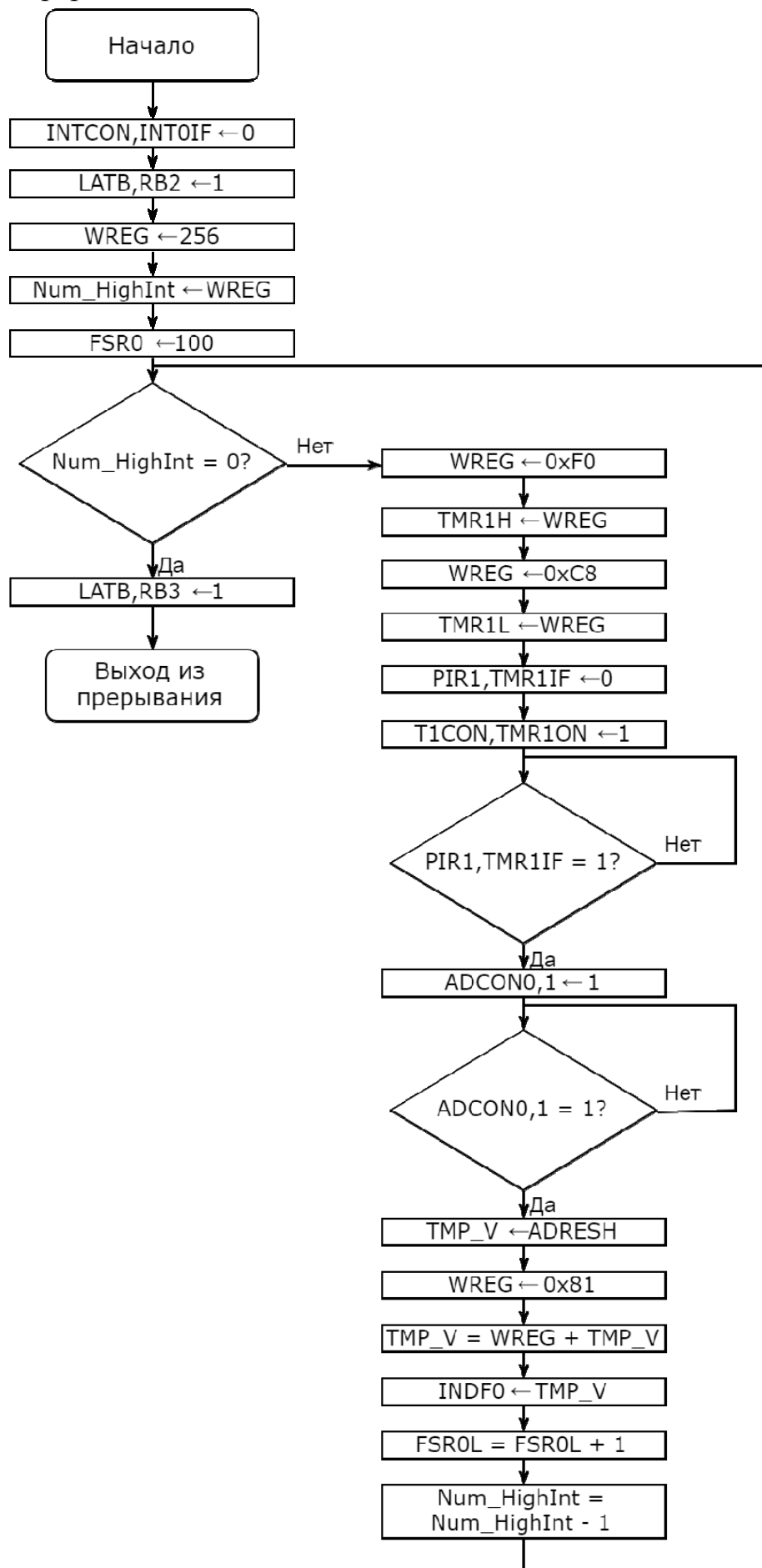
Алгоритм подпрограммы – Умножение на 0.25:



Алгоритм подпрограммы – Умножение на 0.75:



Алгоритм прерывания:



#### 1.4. Теоритический анализ свойств цифрового фильтра.

Заданный алгоритм цифровой обработки сигнала:

$$B_i = 0,125A_i - 0,25A_{i-1} + 0,125B_{i-1} - 0,75B_{i-2}$$

Где  $A_i$  и  $B_i$  элементы массива **A** и **B** соответственно;  $i$  – номер элемента массива, изменяется от 0 до 255.

По заданному алгоритму можем получить разностное уравнение ЦФ:

$$Y = 0,125X - 0,25Xz^{-1} + 0,125Yz^{-1} - 0,75Yz^{-2}$$

Где  $Y$  – отсчеты выходного сигнала,  $X$  – отсчеты входного сигнала.

Проведем обратное  $Z$ -преобразование, для перехода к временным отсчетам:

$$y(nT) = 0,125x(nT) - 0,25x(nT - T) + 0,125y(nT - T) - 0,75y(nT - 2T)$$

По полученному выражению получаем импульсную и передаточную характеристики ЦФ. На рисунке 1.2 представлена импульсная характеристика ЦФ. На рисунке 1.3 представлена передаточная характеристика ЦФ.

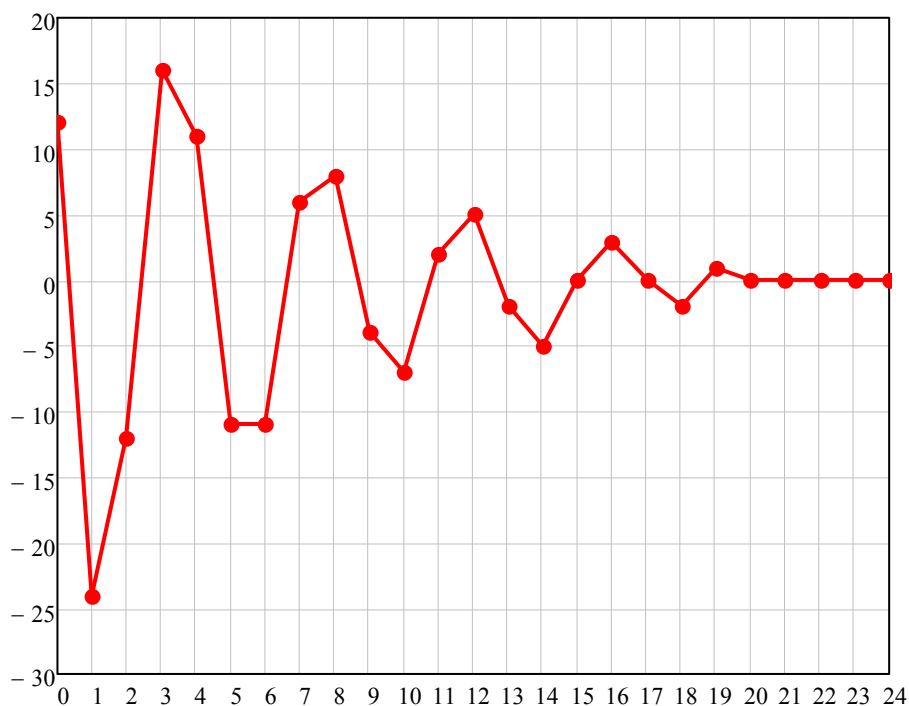


Рисунок 1.2 – Импульсная характеристика ЦФ.

Импульсная характеристика имеет колебательный затухающий характер. Следовательно данный фильтр – полосовой. Период колебания импульсной характеристики составляет 4 такта. При условии, что за 1 секунду АЦП обрабатывает 256 отчетов, резонансная частота фильтра составит  $256/4 = 64$  Гц. Импульсная характеристика к 20 такту затухает, значит фильтр имеет конечную импульсную характеристику (КИХ).

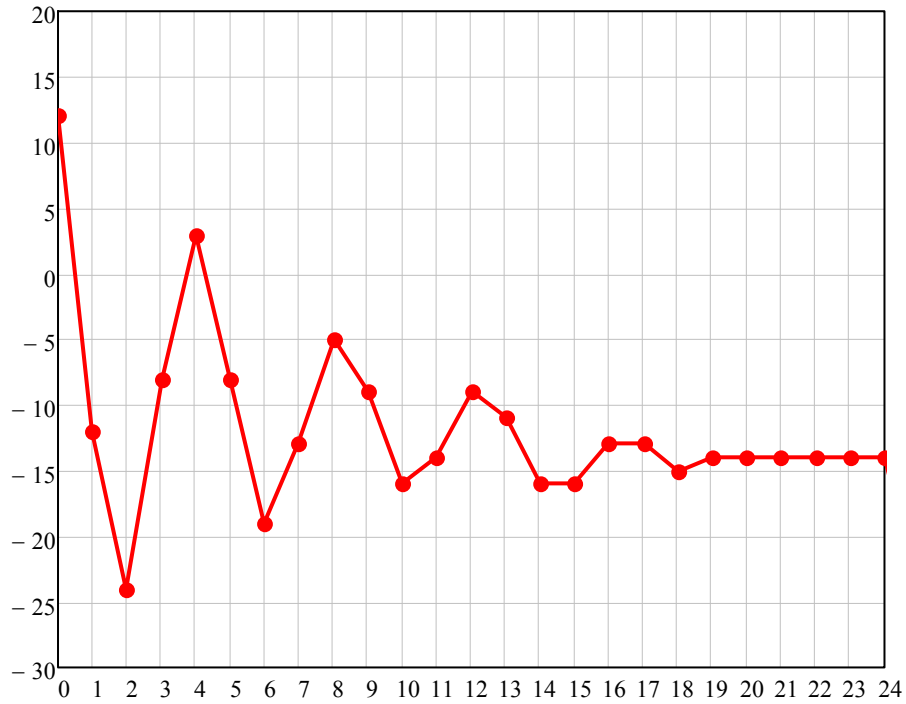


Рисунок 1.3 – Передаточная характеристика ЦФ.

Зная разностное уравнение, получим передаточную функцию ЦФ:

$$H(z) = \frac{0,125 - 0,25z^{-1}}{1 - 0,125z^{-1} + 0,75z^{-2}}$$

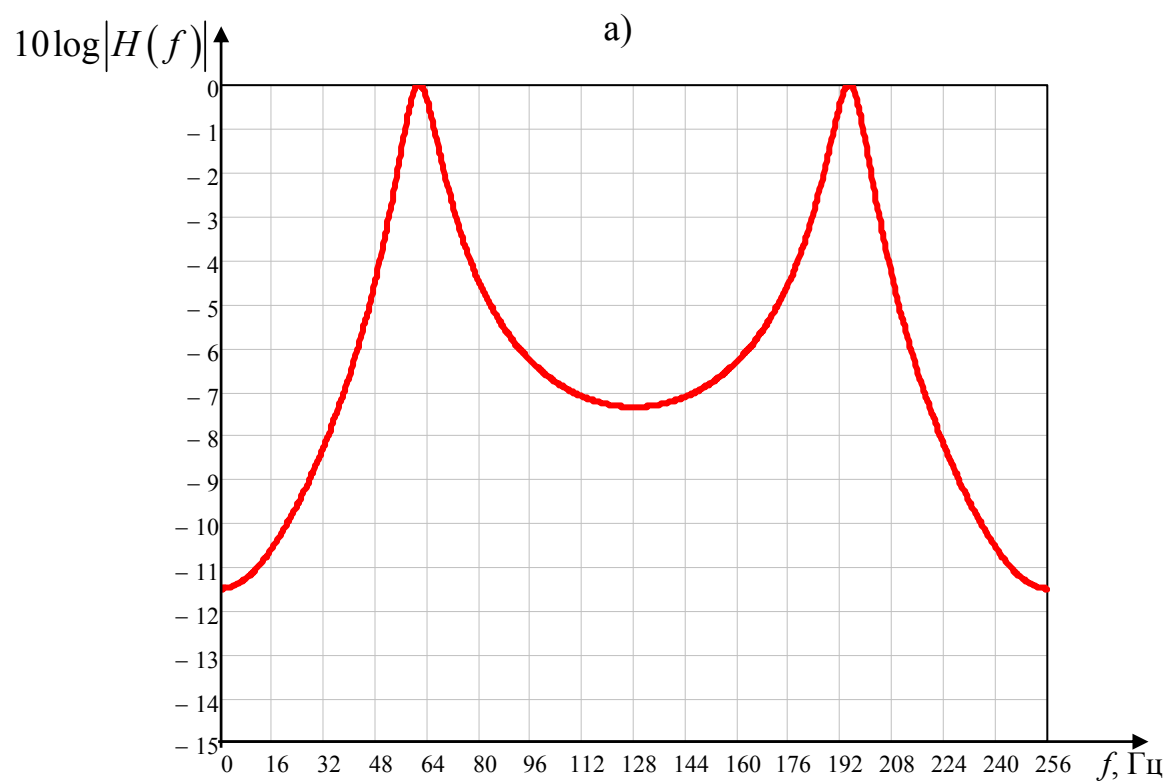
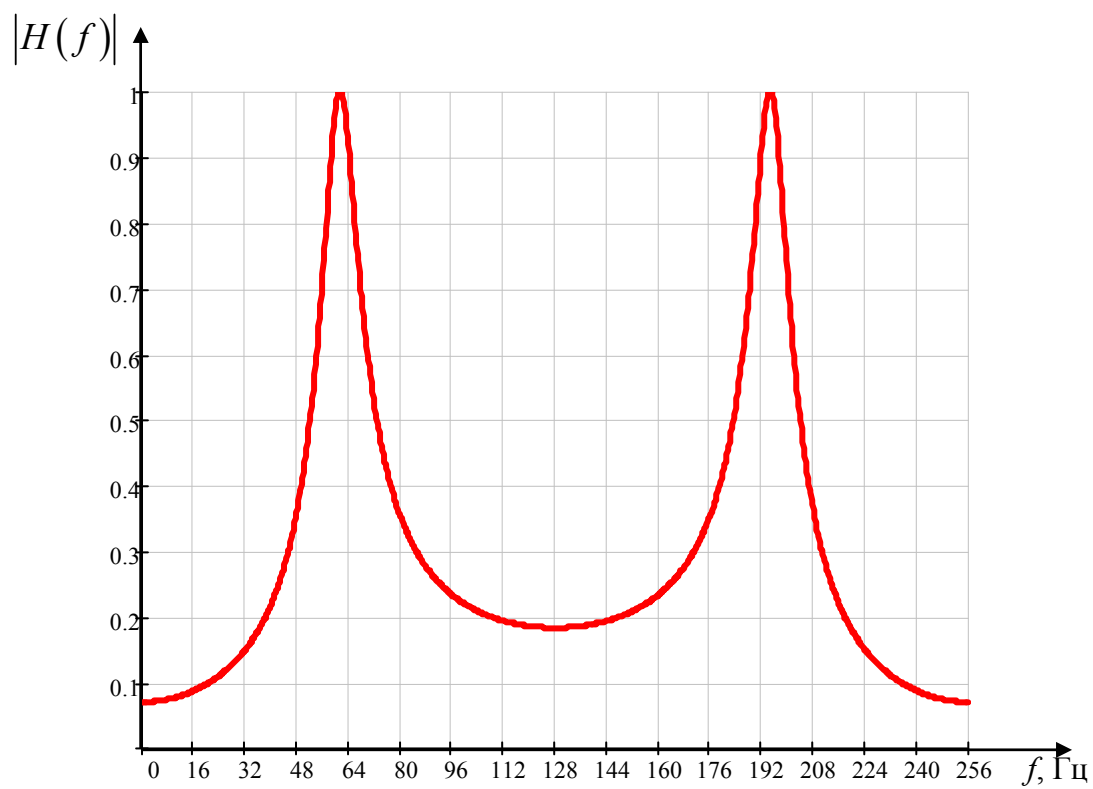
Для получения частотных характеристик, проведем замену:  $z^{-m} = e^{-jm\varphi}$

$$H(\varphi) = \frac{0,125 - 0,25e^{-j\varphi}}{1 - 0,125e^{-j\varphi} + 0,75e^{-j2\varphi}}$$

Где  $\varphi = 2\pi \frac{f}{f_0}$  – нормированная цифровая частота,  $f_0 = 265$  Гц – частота дискретизации. С учетом того, получим следующее выражение:

$$H(f) = \frac{0,125 - 0,25e^{-j2\pi \frac{f}{f_0}}}{1 - 0,125e^{-j2\pi \frac{f}{f_0}} + 0,75e^{-j4\pi \frac{f}{f_0}}}$$

По данной формуле построим нормированную амплитудно-частотную (рисунок 1.4 а), б)) и фазо-частотную (рисунок 1.5) характеристики ЦФ.



б)

Рисунок 1.4 – Нормированная амплитудно-частотная характеристика ЦФ.

а) Шкала амплитуды в размах. б) Шкала амплитуды в децибелах.

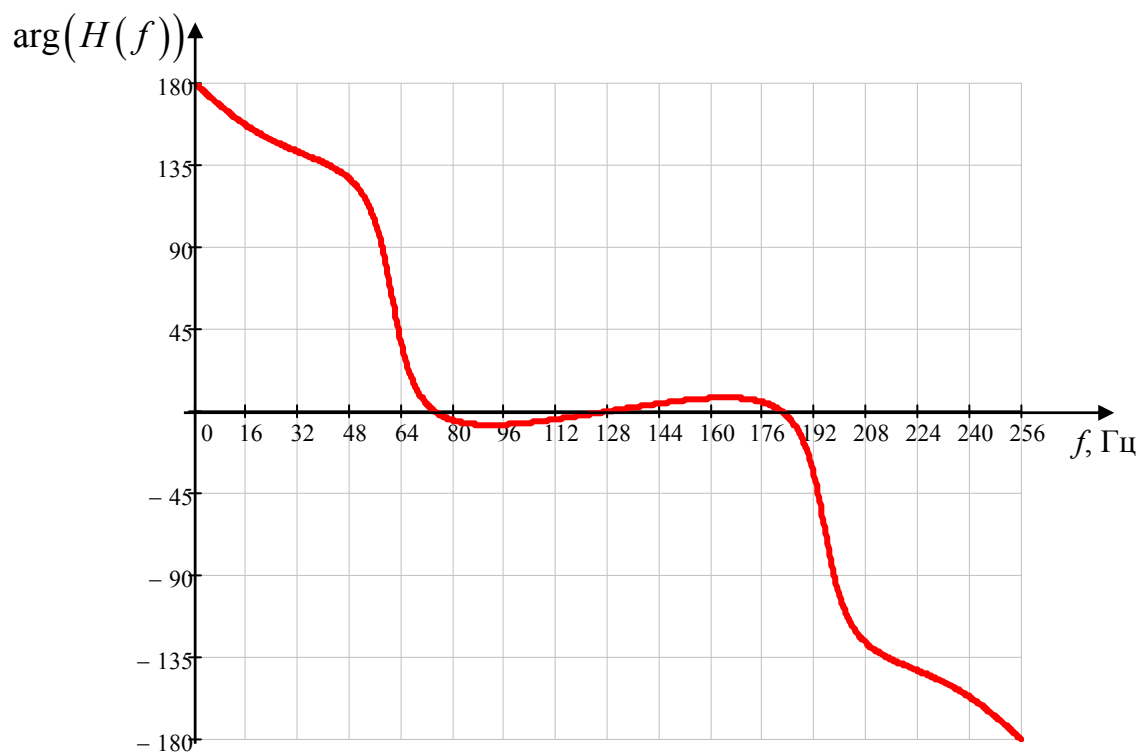


Рисунок 1.5 – Фазо-частотная характеристика ЦФ.



## 1.5. Реализация и отладка алгоритмов основной программы и подпрограмм на языке Ассемблера и в кодах микроконтроллера PIC18F2520. Полная программная документация.

### Реализация алгоритма основной программы:

Main:  
CALL CLR\_F\_ALL; Вызов подпрограммы: Сброс всех переменных  
NOP  
CALL CONF; Вызов подпрограммы: Конфигурация

M1: BTFSS LATB, RB3; Ожидание включения светодиода на RB3  
BRA M1

MOVLW .256; Запись 256 в WREG  
MOVWF Num; Запись из WREG в переменную Num  
LFSR FSR0, 0x100; Задаем базовый адрес для массива A - 0x100  
LFSR FSR1, 0x300; Задаем базовый адрес для массива B - 0x300

M2: MOVFF NumA, NumA\_prev; Перенос значения A(n) в A(n-1)  
MOVFF NumB\_prev, NumB\_prev2; Перенос значения B(n-1) в B(n-2)  
MOVFF NumB, NumB\_prev; Перенос значения B(n) в B(n-1)  
CLRF NumB; Обнуление значения B(n)

MOVFF INDF0, NumA; Перенос значения из памяти МК в A(n)  
CALL MAIN\_FUNC; Вызов подпрограммы: Обработка массива A  
MOVFF NumB, INDF1; Перенос значения B(n) в память МК

INCF FSR1L, F; Переход на следующий адрес массива B  
INCF FSR0L, F; Переход на следующий адрес массива A  
DECFSZ Num, F; Уменьшение на 1 количество операций, и проверка на нулевое значение  
BRA M2

BSF LATB, RB4; Включение светодиода на RB4

M3: BTFSC PORTB, RB1; Ожидание нажатия кнопки на RB1  
BRA M3

GOTO Main; Перезапуск основной программы

### Реализация алгоритма подпрограммы – Сброс всех переменных:

CLR\_F\_ALL:  
CLRF Num\_HighInt; Сброс переменной Num\_HighInt  
CLRF Num; Сброс переменной Num  
CLRF NumA; Сброс переменной NumA  
CLRF NumA\_RES; Сброс переменной NumA\_RES  
CLRF NumA\_prev; Сброс переменной NumA\_prev  
CLRF NumA\_prev\_RES; Сброс переменной NumA\_prev\_RES  
CLRF NumB; Сброс переменной NumB

```

CLRf NumB_prev; Сброс переменной NumB_prev
CLRf NumB_prev_RES; Сброс переменной NumB_prev_RES
CLRf NumB_prev2; Сброс переменной NumB_prev2
CLRf NumB_prev2_RES; Сброс переменной NumB_prev2_RES
CLRf NUM_TO_MUL_05; Сброс переменной NUM_TO_MUL_05
CLRf NUM_TO_MUL_025; Сброс переменной NUM_TO_MUL_025
CLRf NUM_TO_MUL_0125; Сброс переменной NUM_TO_MUL_0125
CLRf NUM_TO_MUL_075; Сброс переменной NUM_TO_MUL_075
CLRf NUM_TO_MUL_075_COPY; Сброс переменной NUM_TO_MUL_075_COPY
CLRf TMP_V; Сброс переменной TMP_V
RETURN; Возвращение в основную программу

```

## Реализация алгоритма подпрограммы – Конфигурация:

```

CONF:
;OSCILLATOR
MOVLW b'01101010'; Fosc = 4 MHz
MOVWF OSCCON
MOVLW b'10000000'; F = 8 MHz
MOVWF OSCTUNE
;ADC
MOVLW b'00010100'; Включаем АЦП
MOVWF ADCON2
MOVLW b'00001110'; Аналоговый вход AN0, остальные - цифровые
MOVWF ADCON1
MOVLW b'00000001'; Используем канал AD0
MOVWF ADCON0
;TIMER
MOVLW b'10000001'; 16-битный, T=1мкс
MOVWF T1CON

BSF INTCON,INT0IE; Нажатие кнопки вызывает прерывания
BCF INTCON2,INTEDG0; По отрицательному фронту
BSF RCON,IPEN; Разрешение прерываний
BSF INTCON,GIEH; Разрешение глобальных прерываний
; Порты входных индикаторов
BSF TRISA,RA0
BSF TRISB,RB0
BSF TRISB,RB1
; Порты выходных индикаторов
BCF TRISB,RB2
BCF TRISB,RB3
BCF TRISB,RB4
BCF TRISB,RB5
CLRf LATB; Сброс всех значений в регистре LATB

RETURN; Возвращение в основную программу

```

## Реализация алгоритма подпрограммы – Обработка массива A:

```

MAIN_FUNC:
MOVFF NumA,NUM_TO_MUL_0125; Запись значения NumA в переменную NUM_TO_MUL_0125
CALL FUNC_MUL_TO_0125; Вызов подпрограммы: Умножение на 0.125
MOVFF NUM_TO_MUL_0125,NumA_RES;

MOVFF NumA_prev,NUM_TO_MUL_025; Запись значения NumA_prev в переменную NUM_TO_MUL_025

```

CALL FUNC\_MUL\_TO\_025; Вызов подпрограммы: Умножение на 0.25  
 MOVFF NUM\_TO\_MUL\_025,NumA\_prev\_RES; Запись значения NUM\_TO\_MUL\_025 в переменную NumA\_prev\_RES

MOVFF NumB\_prev,NUM\_TO\_MUL\_0125; Запись значения NumB\_prev в переменную NUM\_TO\_MUL\_0125  
 CALL FUNC\_MUL\_TO\_0125; Вызов подпрограммы: Умножение на 0.125  
 MOVFF NUM\_TO\_MUL\_0125,NumB\_prev\_RES; Запись значения NUM\_TO\_MUL\_0125 в переменную NumB\_prev\_RES

MOVFF NumB\_prev2,NUM\_TO\_MUL\_075; Запись значения NumB\_prev2 в переменную NUM\_TO\_MUL\_075  
 CALL FUNC\_MUL\_TO\_075; Вызов подпрограммы: Умножение на 0.75  
 MOVFF NUM\_TO\_MUL\_075,NumB\_prev2\_RES; Запись значения NUM\_TO\_MUL\_075 в переменную NumB\_prev2\_RES

MOVF NumA\_RES,W; Запись значения NumA\_RES в WREG  
 ADDWF NumB,F; Операция сложения WREG и NumB. Результат записывается в NumB

NEGF NumA\_prev\_RES; Перевод NumA\_prev\_RES в дополнительный код  
 MOVF NumA\_prev\_RES,W; Запись значения NumA\_prev\_RES в WREG  
 ADDWF NumB,F; Операция сложения WREG и NumB. Результат записывается в NumB

MOVF NumB\_prev\_RES,W; Запись значения NumB\_prev\_RES в WREG  
 ADDWF NumB,F; Операция сложения WREG и NumB. Результат записывается в NumB

NEGF NumB\_prev2\_RES; Перевод NumA\_prev\_RES в дополнительный код  
 MOVF NumB\_prev2\_RES,W; Запись значения NumB\_prev2\_RES в WREG  
 ADDWF NumB,F; Операция сложения WREG и NumB. Результат записывается в NumB

RETURN; Возвращение в основную программу

## Реализация алгоритма подпрограммы – Умножение на 0.125:

FUNC\_MUL\_TO\_0125:  
 BTFSS NUM\_TO\_MUL\_0125,7; Проверка старшего бита в переменной NUM\_TO\_MUL\_0125  
 BRA K1\_0125  
 BRA K2\_0125

K1\_0125:RRCF NUM\_TO\_MUL\_0125,F; Сдвиг переменной NUM\_TO\_MUL\_0125 на 1 разряд  
 BCF NUM\_TO\_MUL\_0125,7; Обнуление старшего разряда  
 RRCF NUM\_TO\_MUL\_0125,F; Сдвиг переменной NUM\_TO\_MUL\_0125 на 1 разряд  
 BCF NUM\_TO\_MUL\_0125,7; Обнуление старшего разряда  
 RRCF NUM\_TO\_MUL\_0125,F; Сдвиг переменной NUM\_TO\_MUL\_0125 на 1 разряд  
 BCF NUM\_TO\_MUL\_0125,7; Обнуление старшего разряда  
 BRA K3\_0125

K2\_0125:RRCF NUM\_TO\_MUL\_0125,F; Сдвиг переменной NUM\_TO\_MUL\_0125 на 1 разряд  
 BSF NUM\_TO\_MUL\_0125,7; Установка старшего разряда  
 RRCF NUM\_TO\_MUL\_0125,F; Сдвиг переменной NUM\_TO\_MUL\_0125 на 1 разряд  
 BSF NUM\_TO\_MUL\_0125,7; Установка старшего разряда  
 RRCF NUM\_TO\_MUL\_0125,F; Сдвиг переменной NUM\_TO\_MUL\_0125 на 1 разряд  
 BSF NUM\_TO\_MUL\_0125,7; Установка старшего разряда  
 BRA K3\_0125

K3\_0125:RETURN; Возвращение в основную программу

## Реализация алгоритма подпрограммы – Умножение на 0.25:

FUNC\_MUL\_TO\_025:

```

    BTFSS NUM_TO_MUL_025,7; Проверка старшего бита в переменной NUM_TO_MUL_025
    BRA K1_025
    BRA K2_025
K1_025:    RRCF NUM_TO_MUL_025,F; Сдвиг переменной NUM_TO_MUL_025 на 1 разряд
    BCF NUM_TO_MUL_025,7; Обнуление старшего разряда
    RRCF NUM_TO_MUL_025,F; Сдвиг переменной NUM_TO_MUL_025 на 1 разряд
    BCF NUM_TO_MUL_025,7; Обнуление старшего разряда
    BRA K3_025
K2_025:    RRCF NUM_TO_MUL_025,F; Сдвиг переменной NUM_TO_MUL_025 на 1 разряд
    BSF NUM_TO_MUL_025,7; Установка старшего разряда
    RRCF NUM_TO_MUL_025,F; Сдвиг переменной NUM_TO_MUL_025 на 1 разряд
    BSF NUM_TO_MUL_025,7; Установка старшего разряда
    BRA K3_025
K3_025:    RETURN; Возвращение в основную программу

```

## Реализация алгоритма подпрограммы – Умножение на 0.75:

```

FUNC_MUL_TO_075:
    MOVFF NUM_TO_MUL_075,NUM_TO_MUL_025; Запись значения NUM_TO_MUL_075 в переменную
NUM_TO_MUL_025
    CALL FUNC_MUL_TO_025; Вызов подпрограммы: Умножение на 0.25
    MOVFF NUM_TO_MUL_025,NUM_TO_MUL_075_COPY; Запись значения NUM_TO_MUL_025 в переменную
NUM_TO_MUL_075_COPY
    NEGF NUM_TO_MUL_075_COPY; Перевод NUM_TO_MUL_075_COPY в дополнительный код
    MOVF NUM_TO_MUL_075_COPY,W; Запись значения NUM_TO_MUL_075_COPY в WREG
    ADDWF NUM_TO_MUL_075,F; Операция сложения WREG и NUM_TO_MUL_075. Результат записывается в
NUM_TO_MUL_075
    RETURN; Возвращение в основную программу

```

## Реализация алгоритма прерываний:

```

HighInt:
;    *** high priority interrupt code goes here ***
    BCF INTCON,INT0IF; Сброс флага прерывания
    BSF LATB,RB2; Включение светодиода на RB2
    MOVLW .256; Запись 256 в WREG
    MOVWF Num_HighInt; Запись из WREG в переменную Num_HighInt
    LFSR FSR0,0x100; Задаем базовый адрес для массива A - 0x100

Mint1:    MOVLW 0xF0; Запись 0xF0 в WREG
    MOVWF TMR1H; Запись из WREG в переменную TMR1H
    MOVLW 0xC8; Запись 0xC8 в WREG
    MOVWF TMR1L; Запись из WREG в переменную TMR1L
    BCF PIR1,TMR1IF; Сброс флага таймера
    BSF T1CON,TMR1ON; Включение таймера

Mint2:    BTFSS PIR1,TMR1IF; Задержка ~3.9 мс
    BRA Mint2
    BSF ADCON0,1; Запуск АЦП

Mint3:    BTFSS ADCON0,1; Проверка на завершение оцифровки
    BRA Mint3
    MOVFF ADRESH,TMP_V; Запись значений в массив A
    MOVLW 0x81; Запись 0x81 в WREG
    ADDWF TMP_V,F; Операция сложения WREG и TMP_V. Результат записывается в TMP_V
    MOVFF TMP_V,INDF0; Перенос значения из TMP_V в память МК
    INCF FSR0L,F; Переход на следующий адрес массива A

```

DECFSZ Num\_HighInt,F; Уменьшение на 1 количество операций, и проверка на нулевое значение  
BRA Mint1  
BSF LATB,RB3; Включение светодиода на RB3  
RETFIE FAST; Возвращение из прерывания

### Список пользовательских констант:

NUM\_TO\_MUL\_05  
NUM\_TO\_MUL\_025  
NUM\_TO\_MUL\_0125  
NUM\_TO\_MUL\_075  
NUM\_TO\_MUL\_075\_COPY  
Num\_HighInt  
Num  
NumA  
NumA\_prev  
NumB  
NumB\_prev  
NumB\_prev2  
NumA\_RES  
NumA\_prev\_RES  
NumB\_prev\_RES  
NumB\_prev2\_RES  
TMP\_V

### Список подпрограмм:

CLRF\_ALL  
CONF  
MAIN\_FUNC  
FUNC\_MUL\_TO\_0125  
FUNC\_MUL\_TO\_025  
FUNC\_MUL\_TO\_075

### Список источников прерываний:

RB0/INT0 – 21 вывод микросхемы.

### Список служебных регистров:

WREG	OSCCON
BSR	OSCTUNE
STATUS	ADCON2
INDF0	ADCON1
FSR0	ADCON0
FSR0L	T1CON
INDF1	INTCON
FSR1	INTCON2
FSR1L	RCON
LATB	TMR1H
PORTB	TMR1L
TRISB	PIR1
TRISA	ADRESH

## 2. МОДЕЛИРОВАНИЕ И ОТЛАДКА ПРОЕКТА В MPLAB X.

### 2.1. Ввод подготовленной программы и исходных данных в память микроконтроллера для отладки в MPLAB.

В пакете MPLAB X v4.00 создаем новый проект с названием, к примеру, Main.X. В этом проекте создаем файл формата .ASM с названием КР. Вводим подготовленную программу и проверяем на наличие ошибок. Ошибок не обнаружено, значит собираем проект и запускаем симуляцию. Для получения импульсной характеристики создадим в памяти МК на 100 адресе значение равное  $100_{10}$  или  $64_{16}$ . Для получения переходной характеристики создадим файл тестового сигнала с постоянным значением равным  $100_{10}$  или  $64_{16}$ .

### 2.2. Отладка в симуляторе MPLAB SIM

Для отображения результата в наглядном виде будем использовать плагин **DMCI Window**. Это позволит нам получать значения в графическом виде, что существенно облегчит анализ цифровой обработки.

#### Симуляция импульсной характеристики.

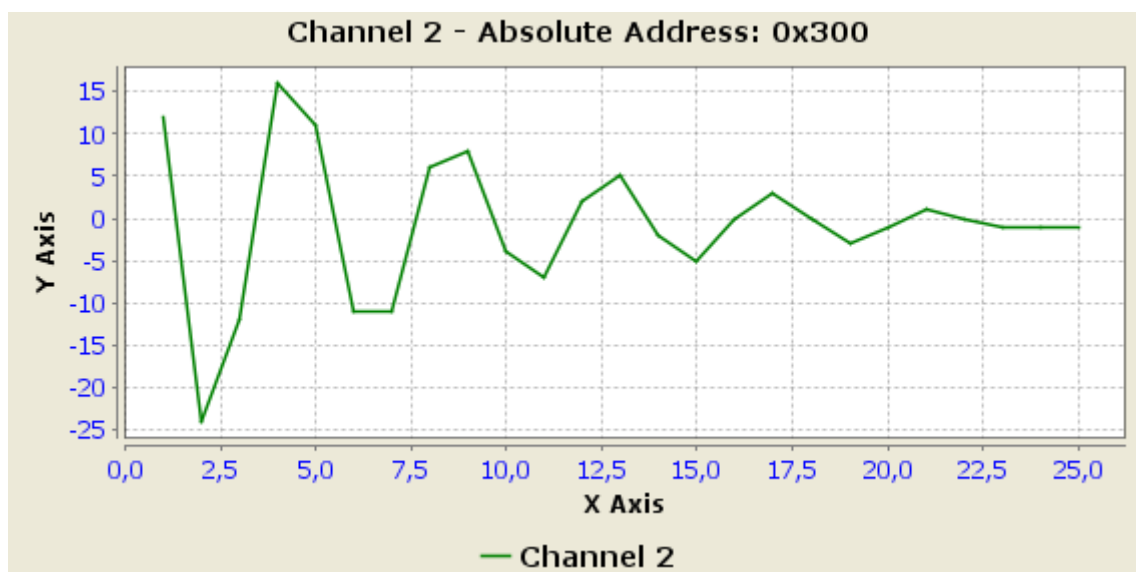


Рисунок 2.1 – Результат симуляции импульсной характеристики.

Общий вид и значения полностью совпадают с рассчитанными в пункте 1.4.

### Симуляция передаточной характеристики.

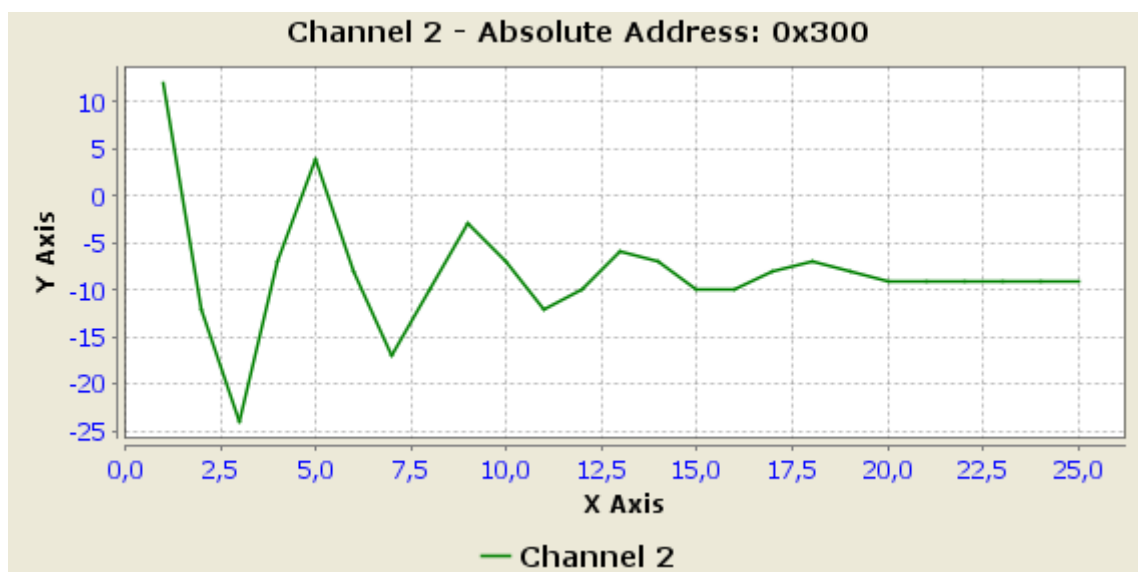


Рисунок 2.2 – Результат симуляции переходной характеристики.

Общий вид и значения так же полностью совпадают с рассчитанными в пункте 1.4.

## Симуляция сигналов разной частоты.

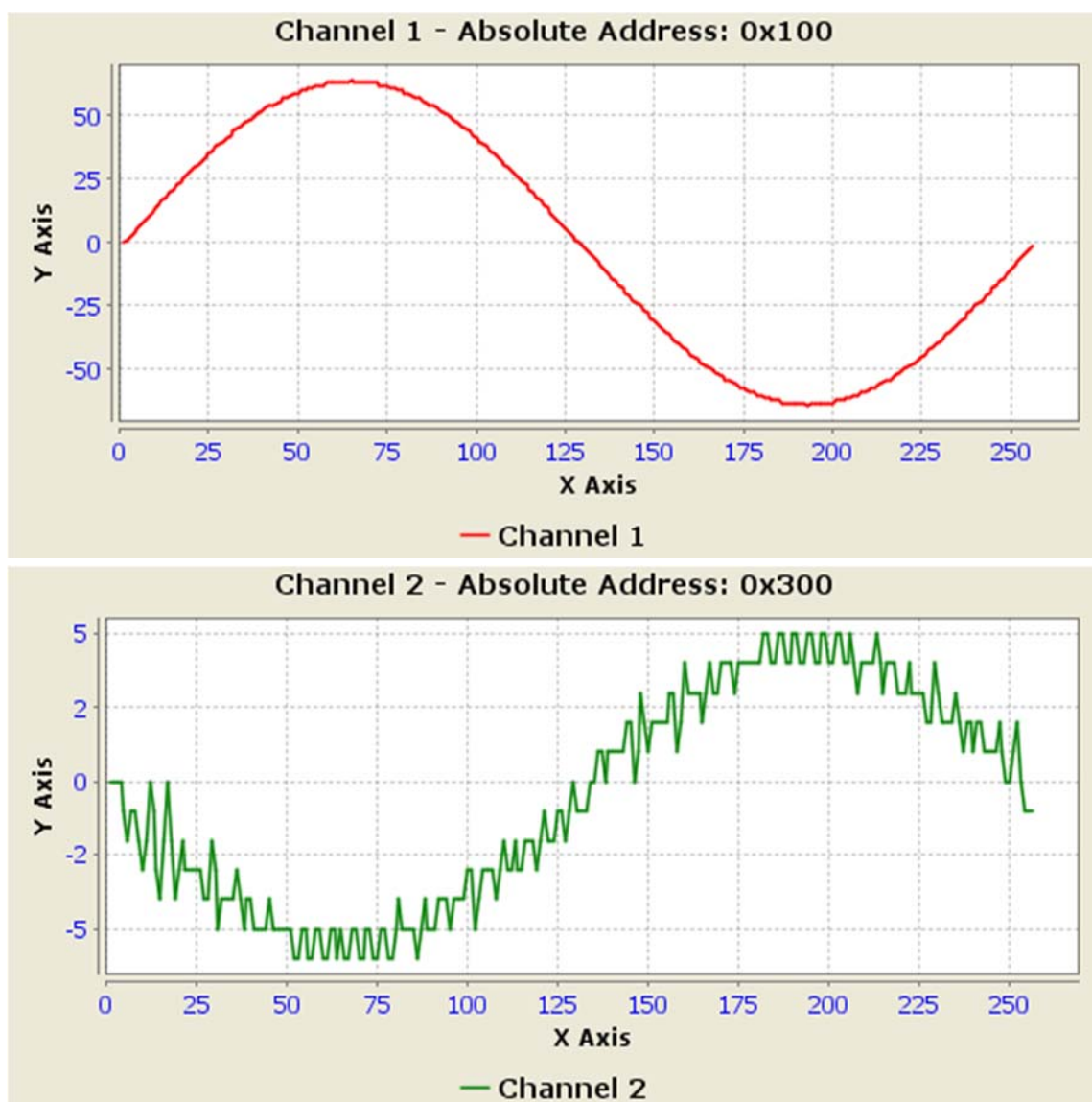


Рисунок 2.3 – Результат симуляции сигнала с частотой 1 Гц.



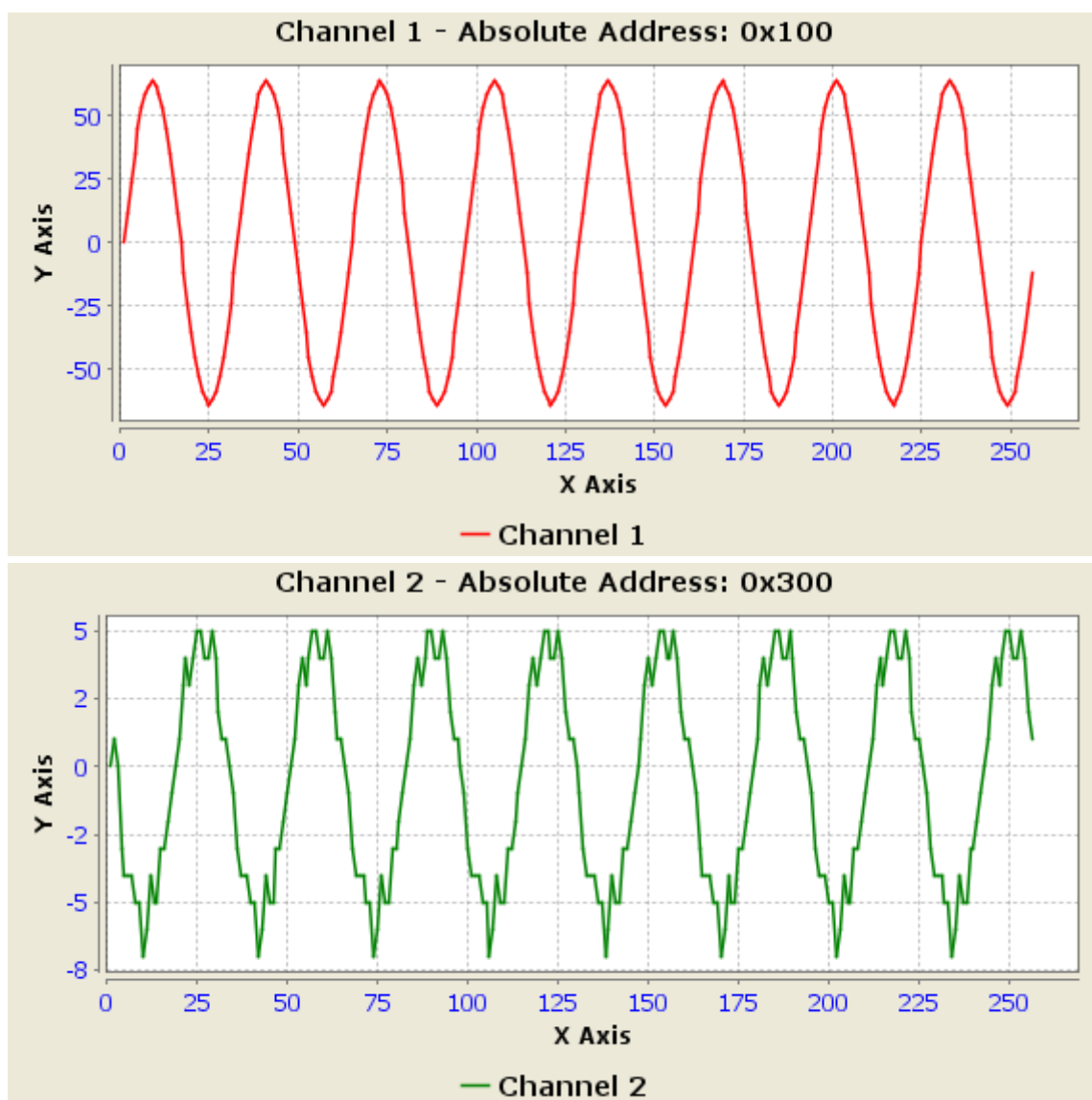


Рисунок 2.4 – Результат симуляции сигнала с частотой 8 Гц.

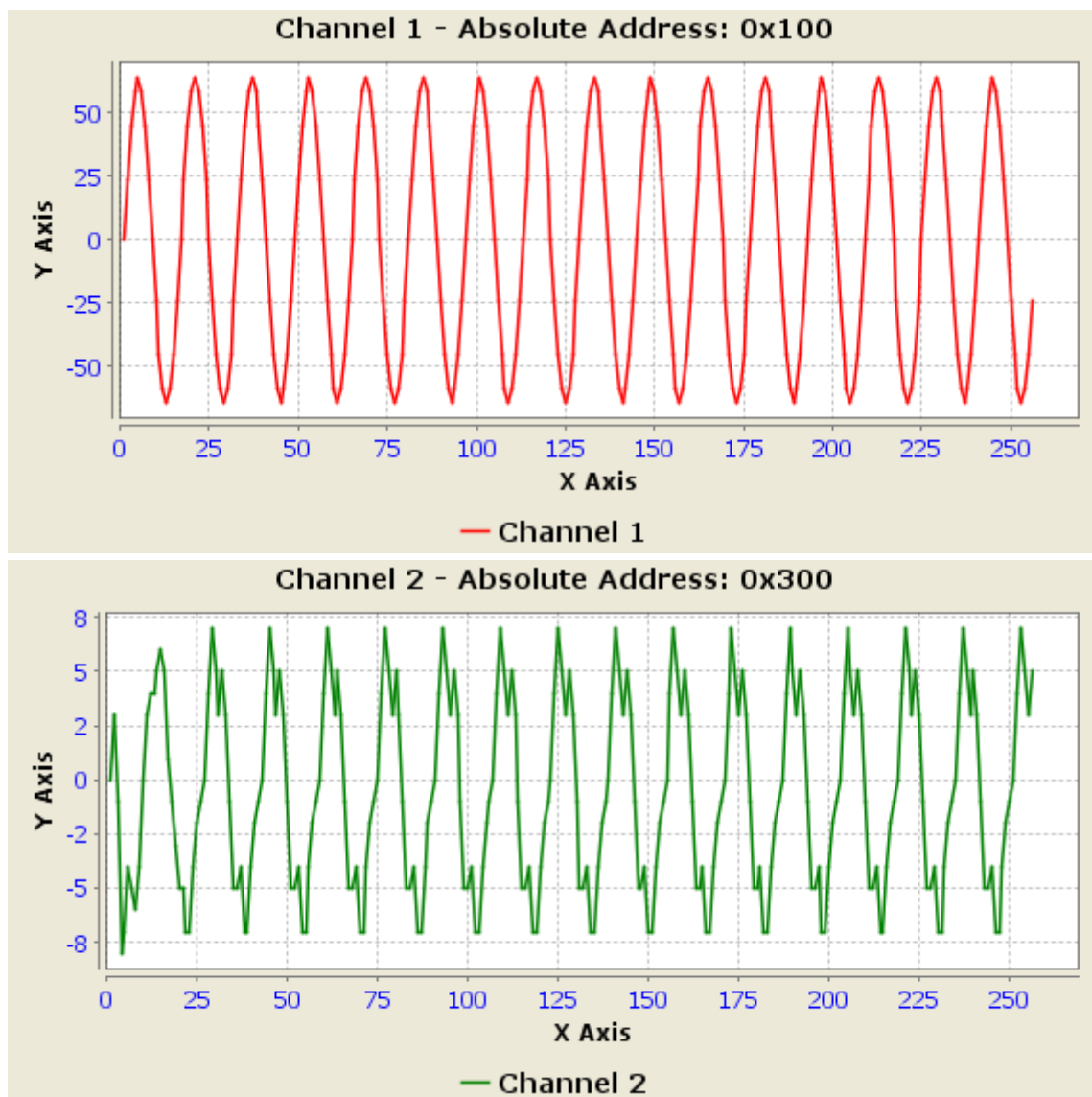


Рисунок 2.5 – Результат симуляции сигнала с частотой 16 Гц.

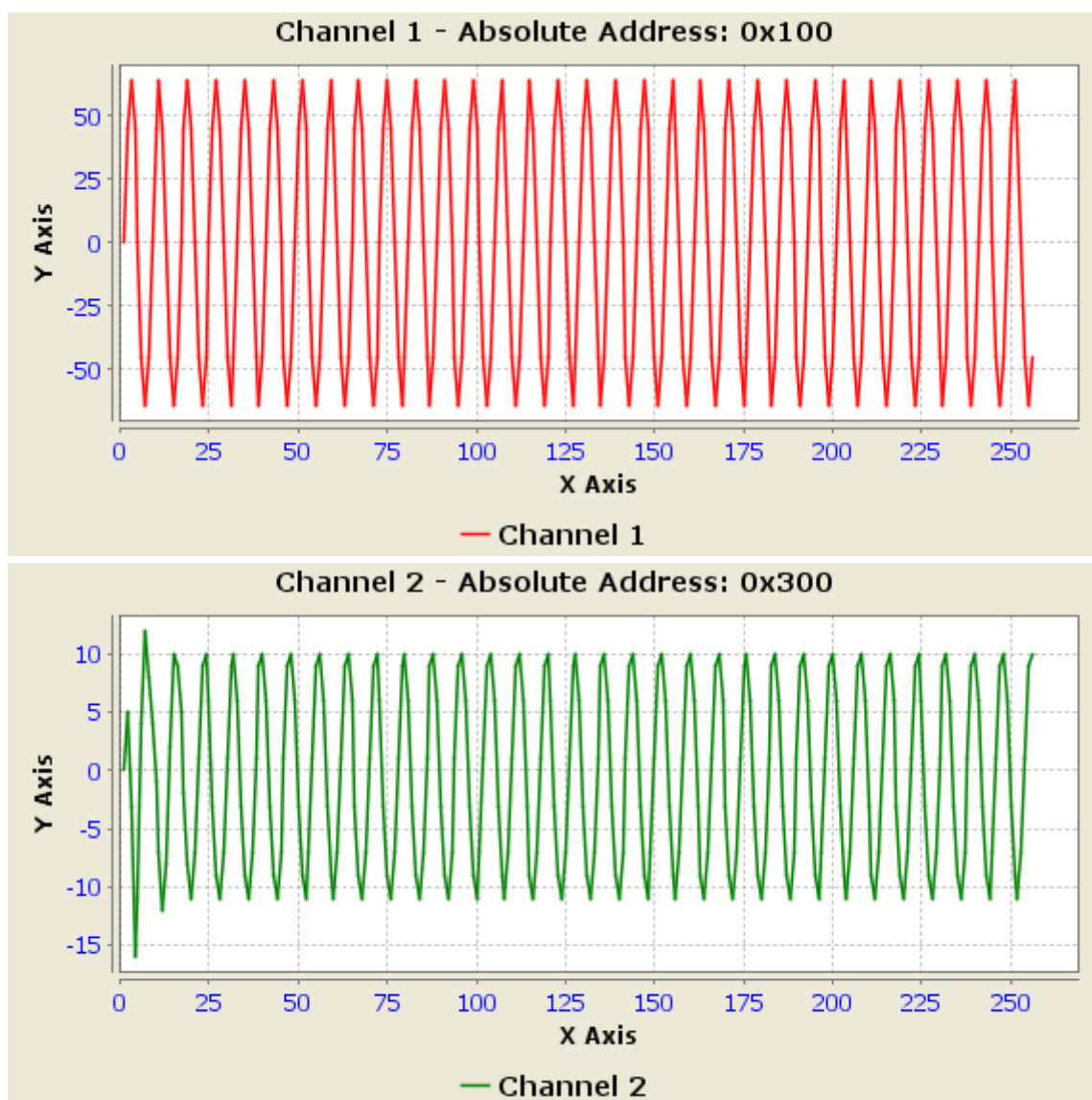


Рисунок 2.6 – Результат симуляции сигнала с частотой 32 Гц.

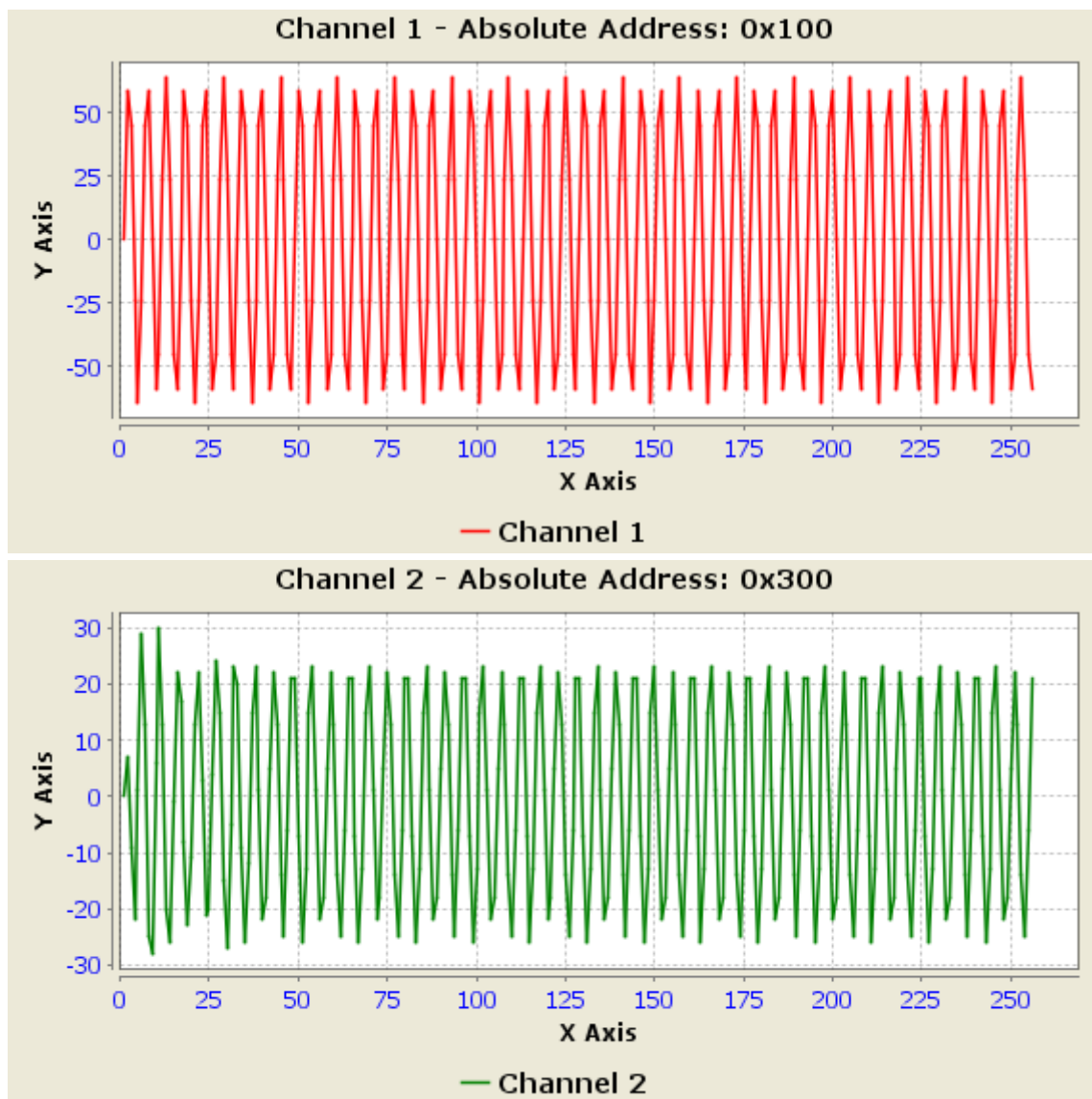


Рисунок 2.7 – Результат симуляции сигнала с частотой 48 Гц.

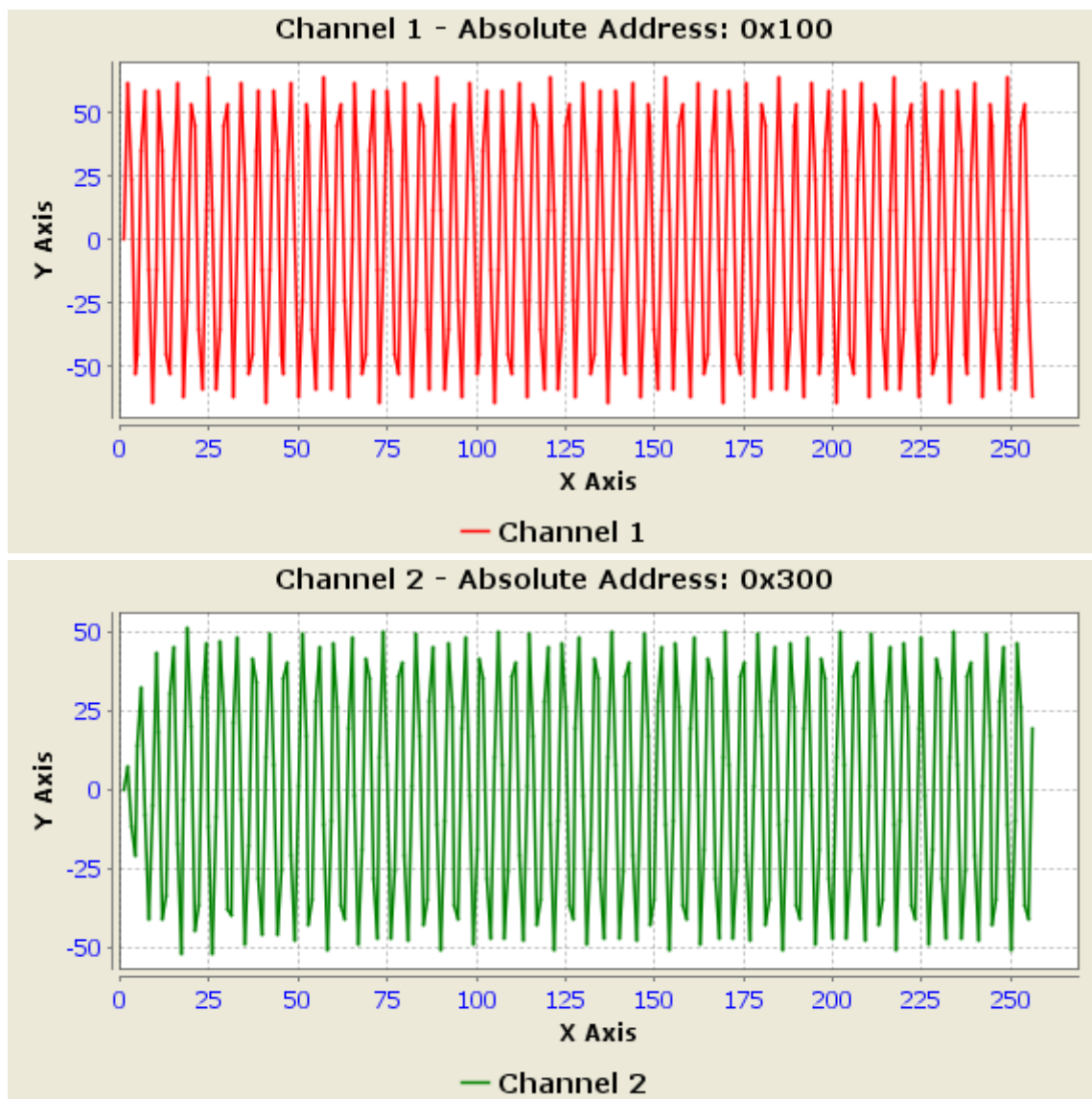


Рисунок 2.8 – Результат симуляции сигнала с частотой 56 Гц.

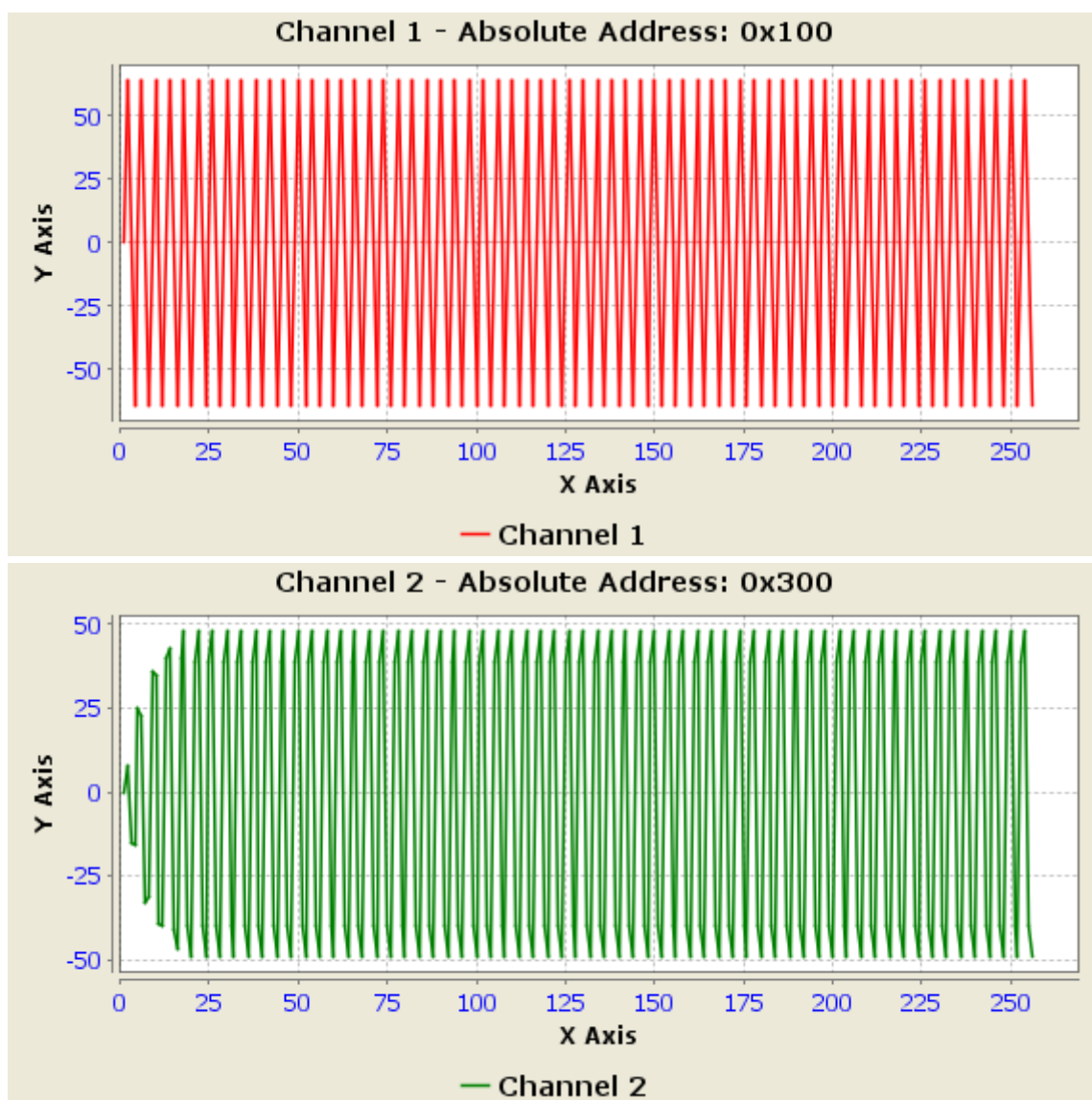


Рисунок 2.8– Результат симуляции сигнала с частотой 64 Гц.

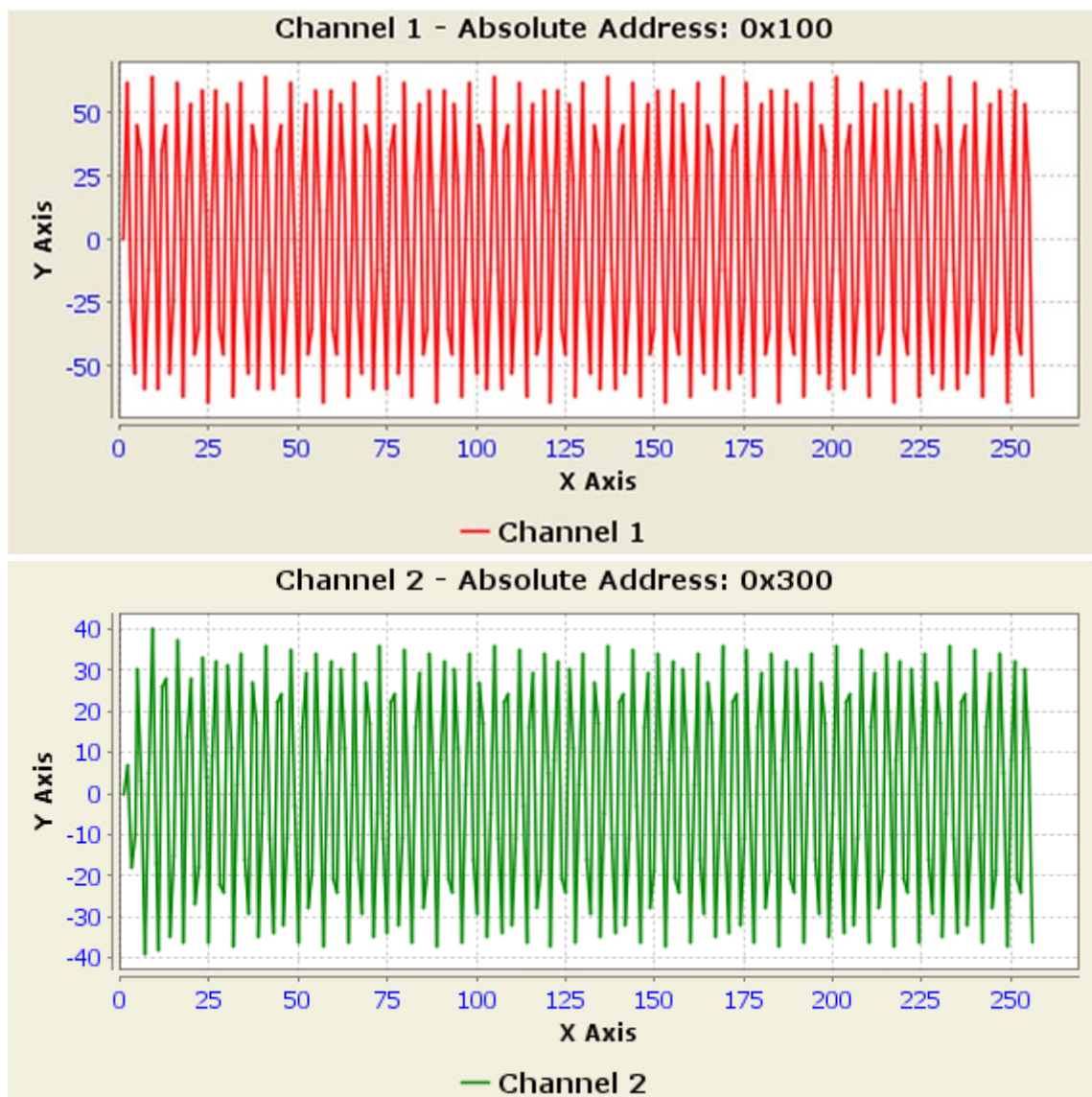


Рисунок 2.9 – Результат симуляции сигнала с частотой 72Гц.



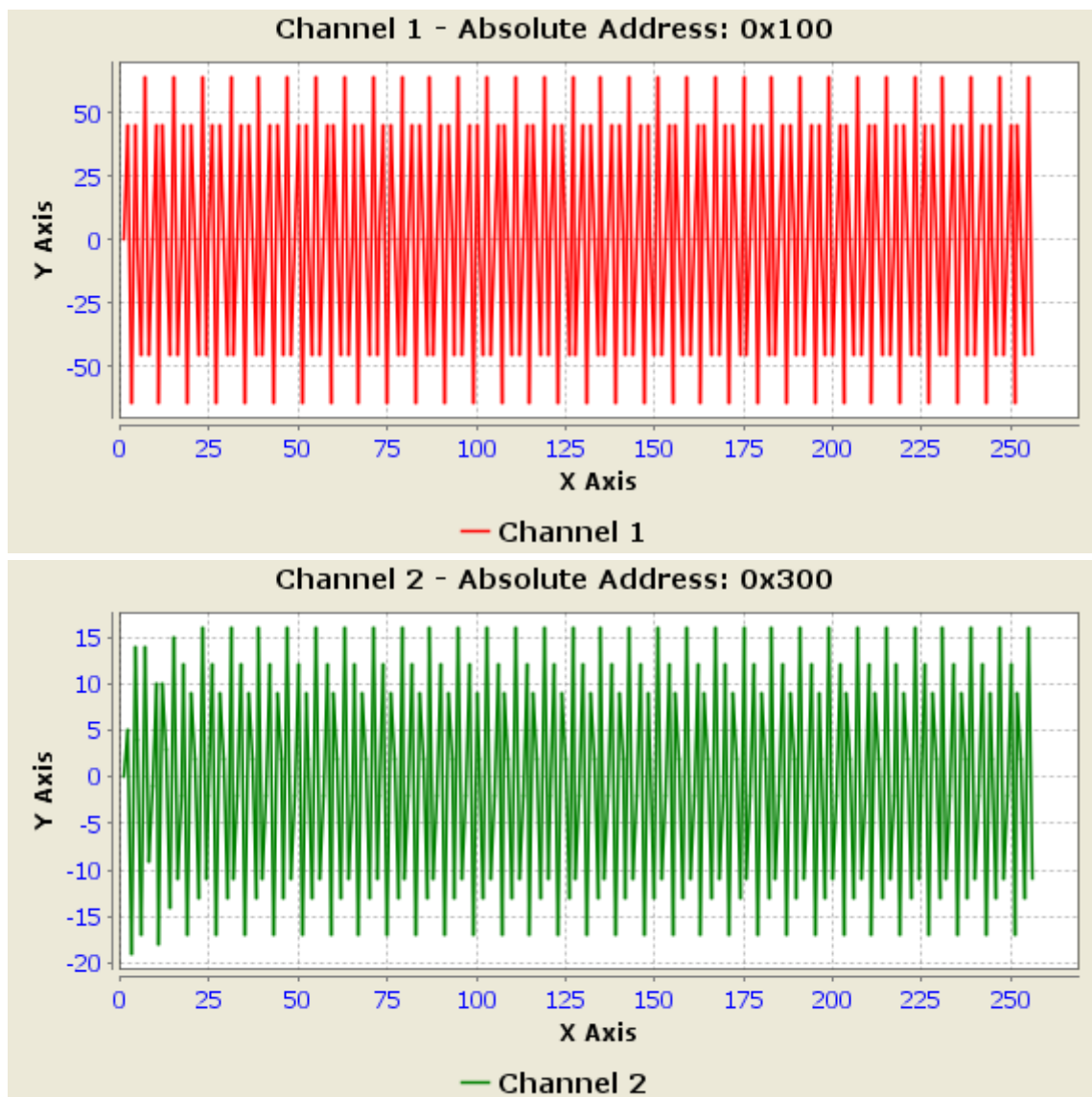


Рисунок 2.10 – Результат симуляции сигнала с частотой 96 Гц.



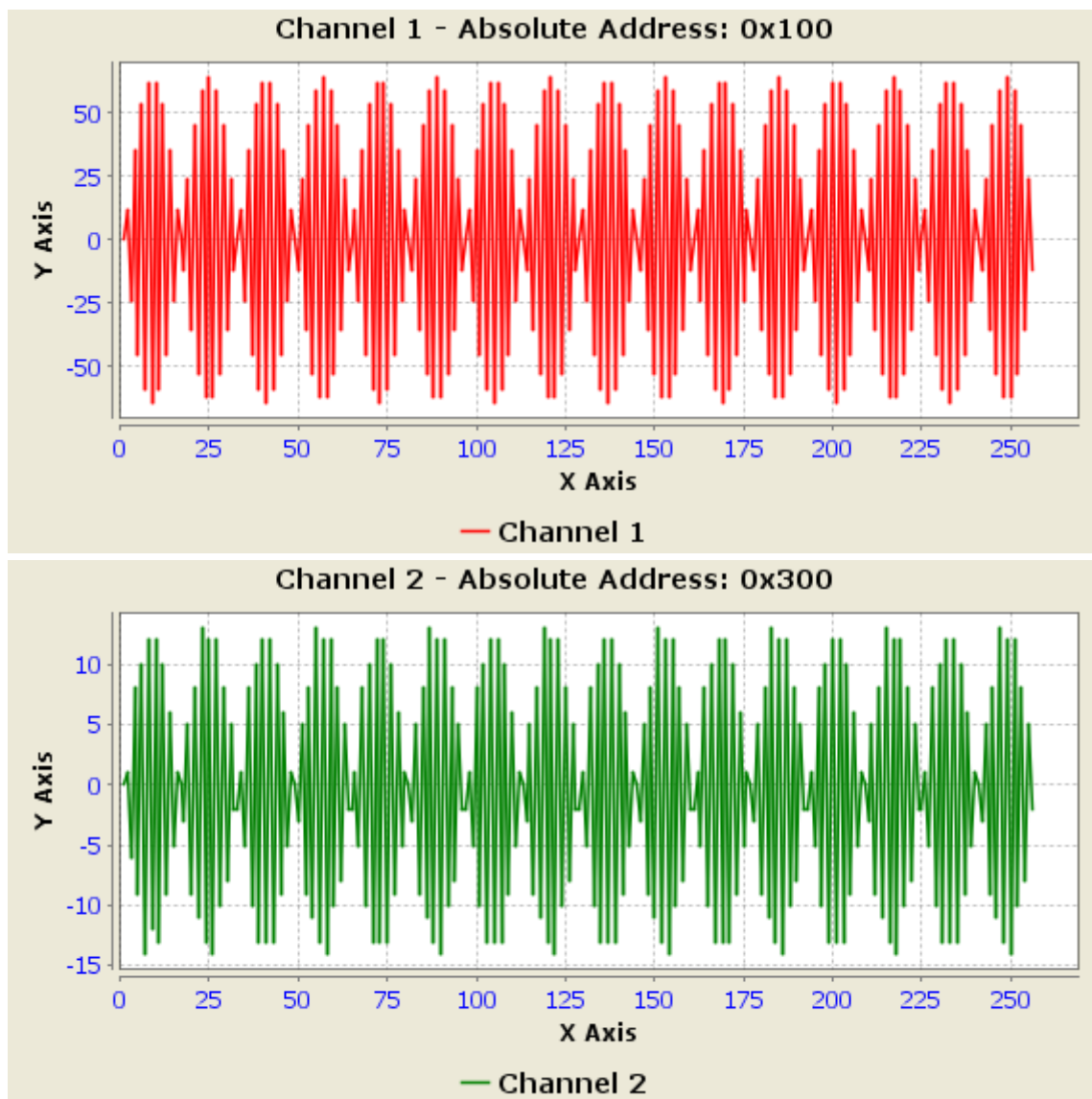


Рисунок 2.11 – Результат симуляции сигнала с частотой 120 Гц.

## Симуляция суммы сигналов с разными частотам

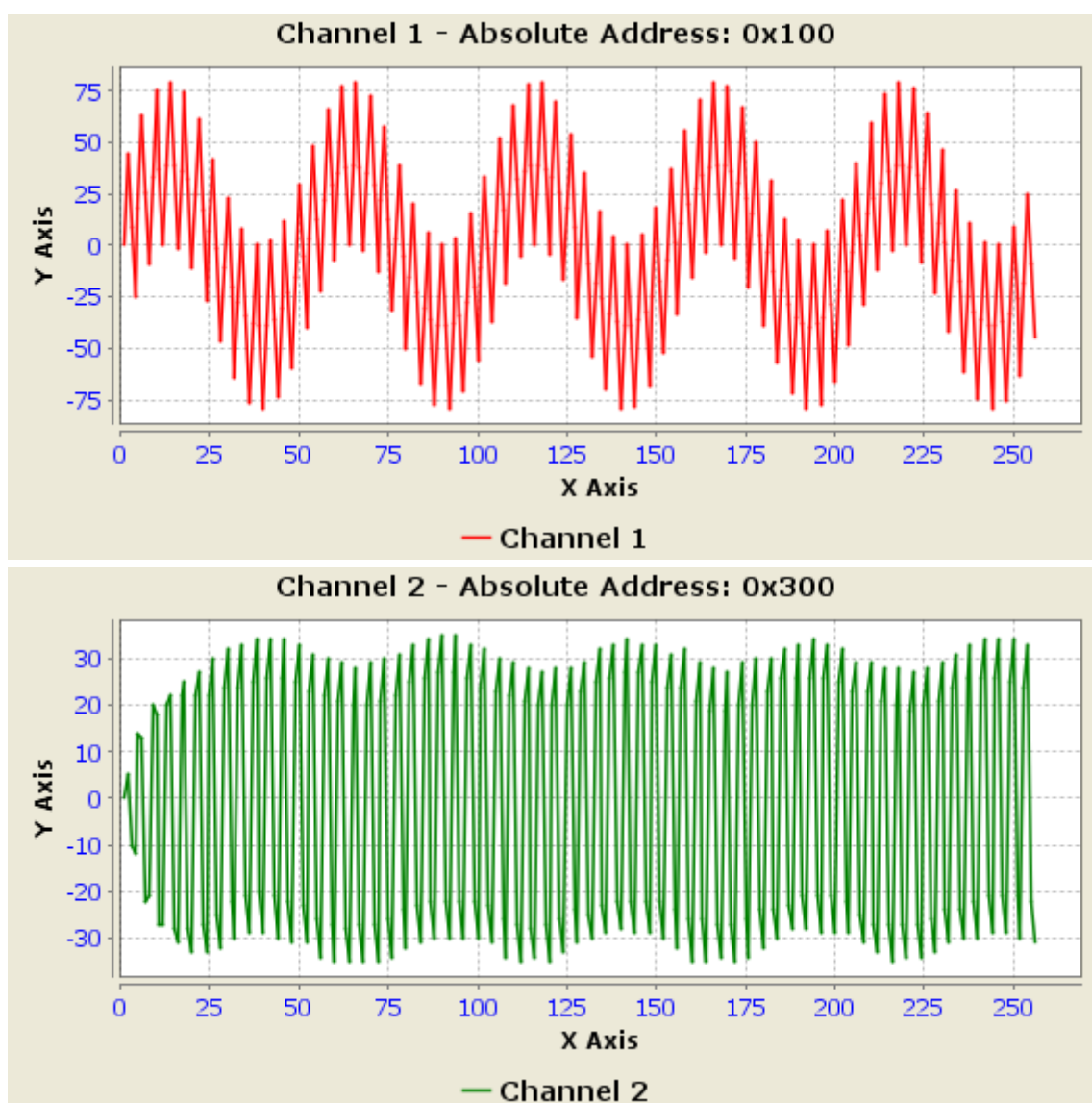


Рисунок 2.12 – Результат симуляции сигналов с частотами 5 Гц и 64 Гц.

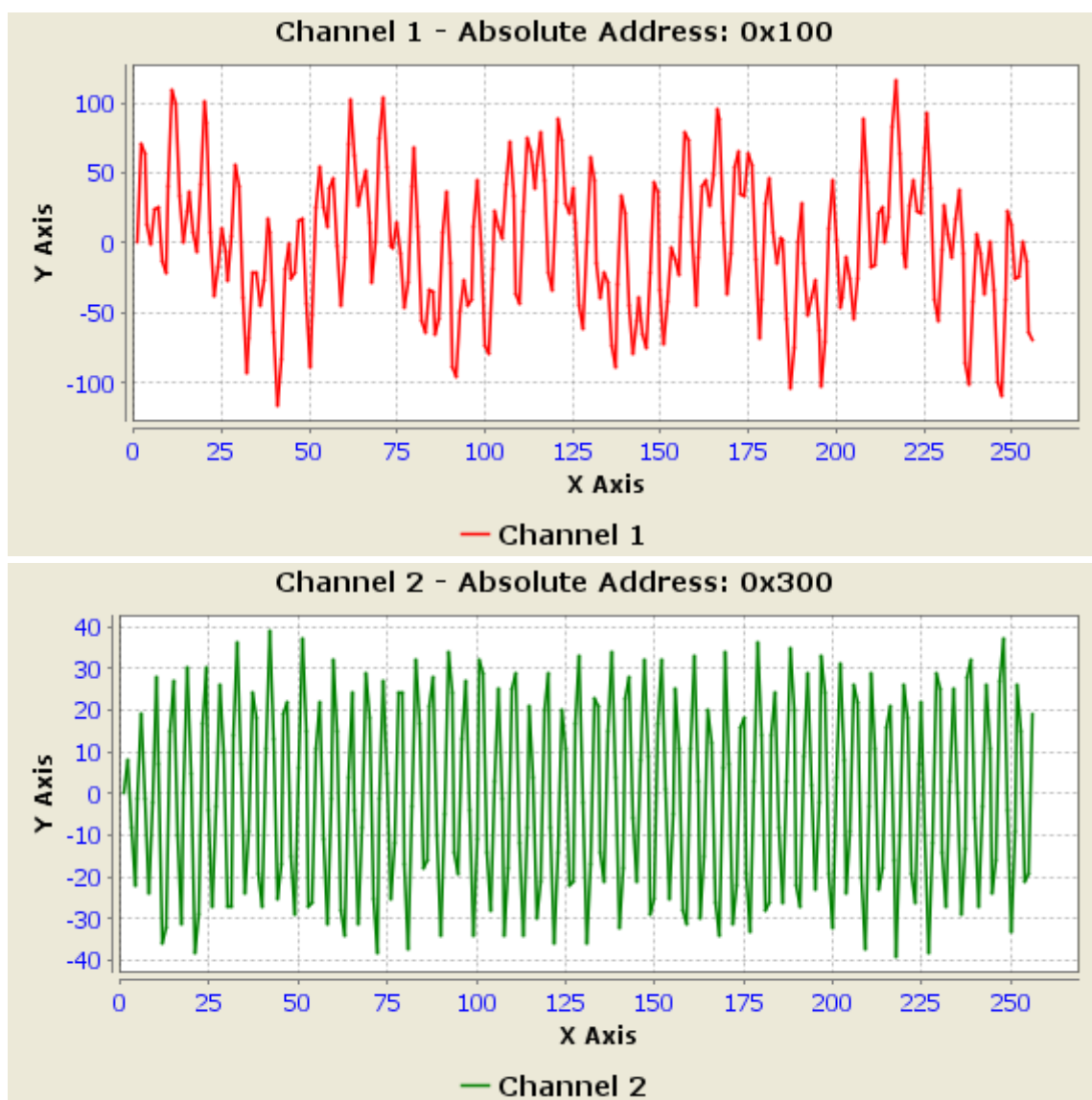


Рисунок 2.13 – Результат симуляции сигналов с частотами 5 Гц, 30 Гц и 56 Гц.

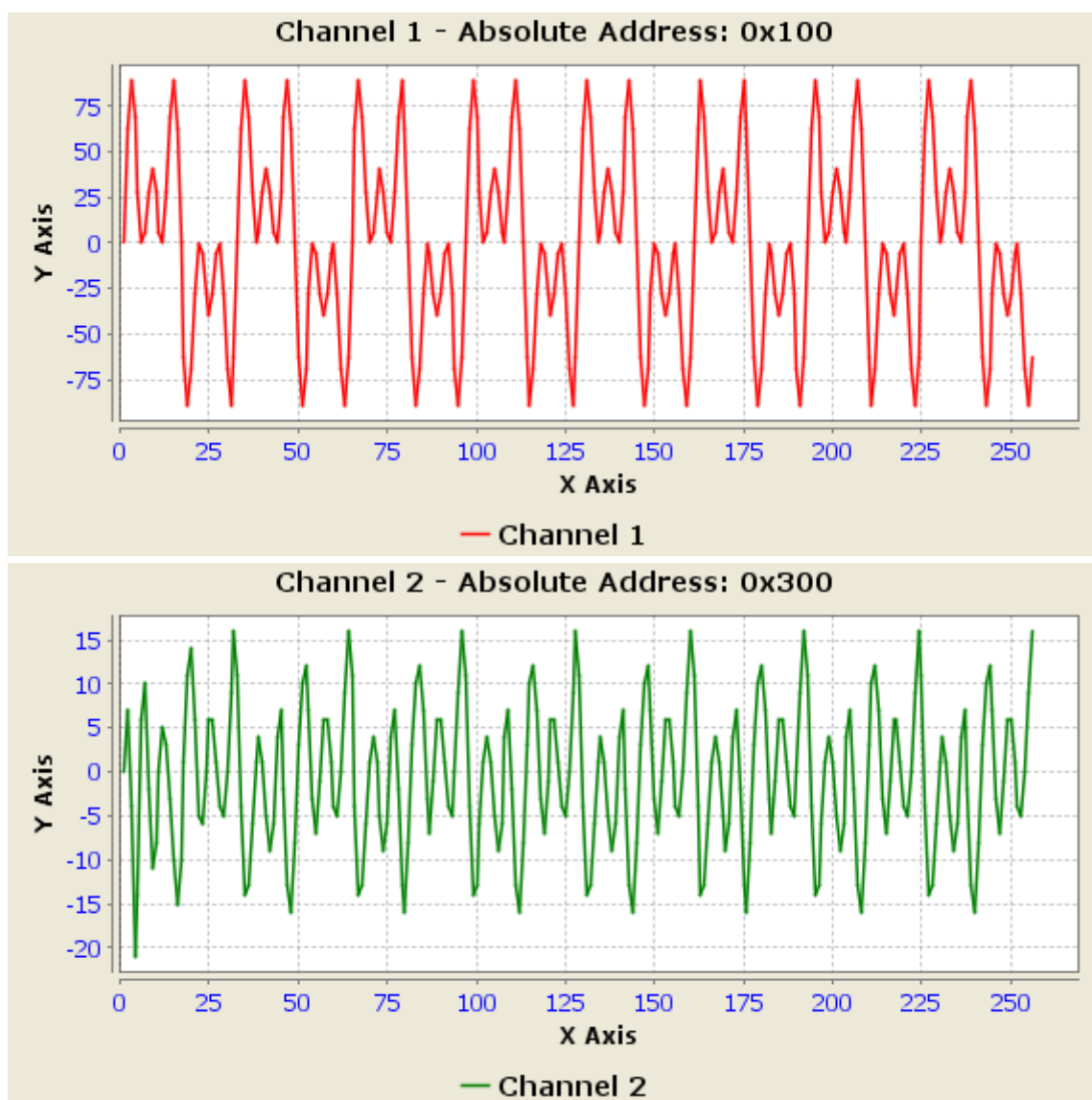


Рисунок 2.14 – Результат симуляции сигналов с частотами 8 Гц, 24 Гц и 40 Гц.

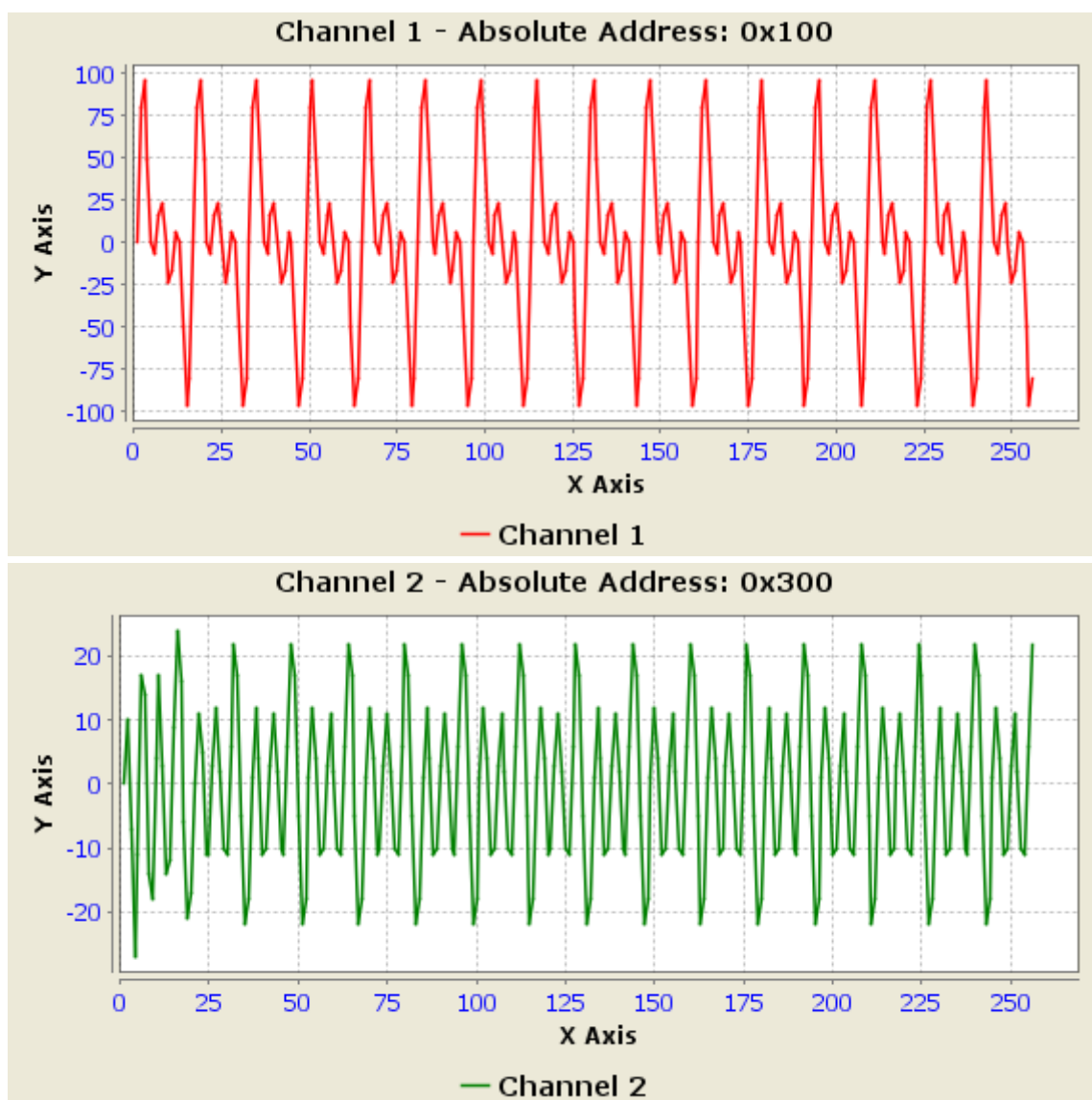


Рисунок 2.15 – Результат симуляции сигналов с частотами 16 Гц, 32 Гц и 48 Гц.

### 2.3. Проверка правильности полученных результатов.

По рисункам 2.3 – 2.11, на которых присутствует только один сигнал, можно определить отношение амплитуд. Это отношение и будет значением передаточной функции на определённой частоте. Там, где отношение будет максимальным, будет резонансная частота фильтра.

Таблица 2.1. Отношение амплитуд для различных частот.

$f, \text{Гц}$	1	8	16	32	48	56	64	72	90	120
$\frac{U_{\text{ВЫХ}}}{U_{\text{ВХ}}}$	0,078	0,078	0,109	0,156	0,375	0,703	0,781	0,594	0,25	0,188

Теперь нормируем полученные значение и нанесем их на график АЧХ фильтра

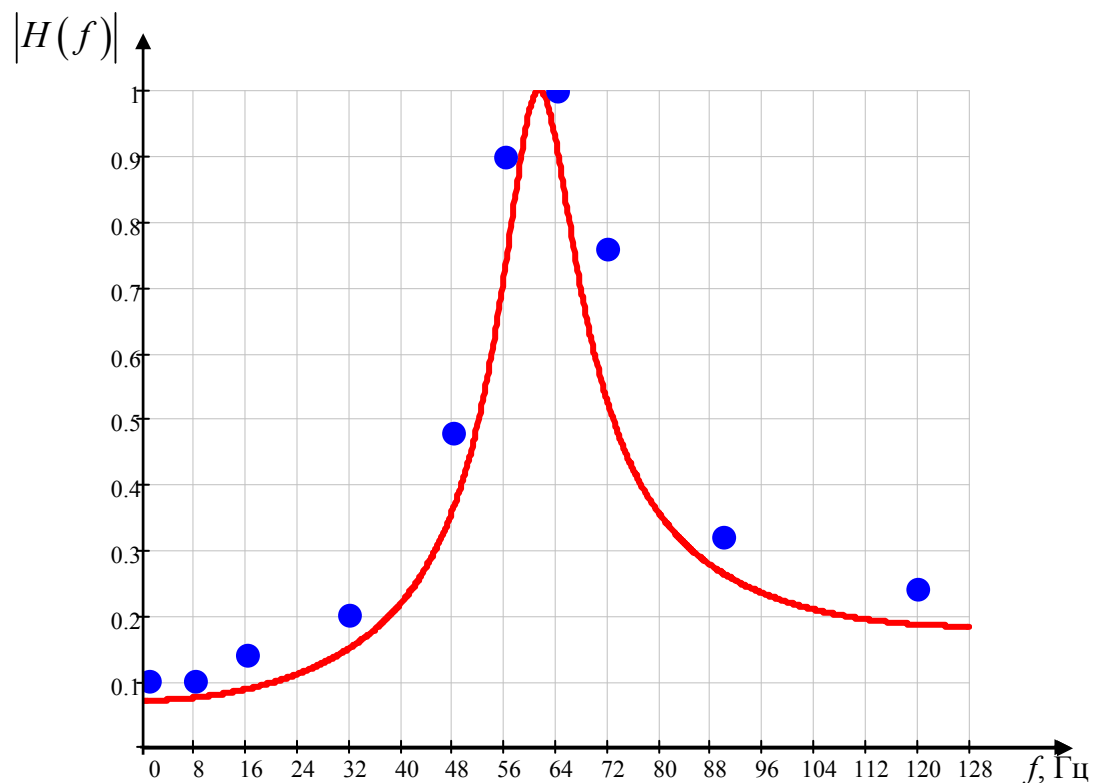


Рисунок 2.16 – Нормированная амплитудно-частотная характеристика ЦФ.

Как видно по рисунку 2.16 результаты симуляции совпадают с теоритическим анализом с небольшой погрешностью. Резонансная частота в обоих случаях составляет 64 Гц.

### 3. ПРОВЕРКА ПРАВИЛЬНОСТИ ФУНКЦИОНИРОВАНИЯ МПС ПРИ ПОМОЩИ МОДУЛЯ PICKIT.

В пакете MPLAB X переключим Debug Tool с симуляции на модуль PICkit 3.0. Теперь мы можем подключить МПС к данному модулю. После подключения устанавливаем питание +5В. Теперь на МПС подаем постоянное напряжение смещения с помощью делителя напряжения для того, что бы подавать на АЦП МК только положительные значения напряжения. Подключаем на вход МПС генератор аналогово сигнала. Результат оцифровки АЦП записываем в массив А. После оцифровки обрабатываем сигнала и записываем его в массив В. Результаты обоих массивов выводим с помощью плагина DMCI.

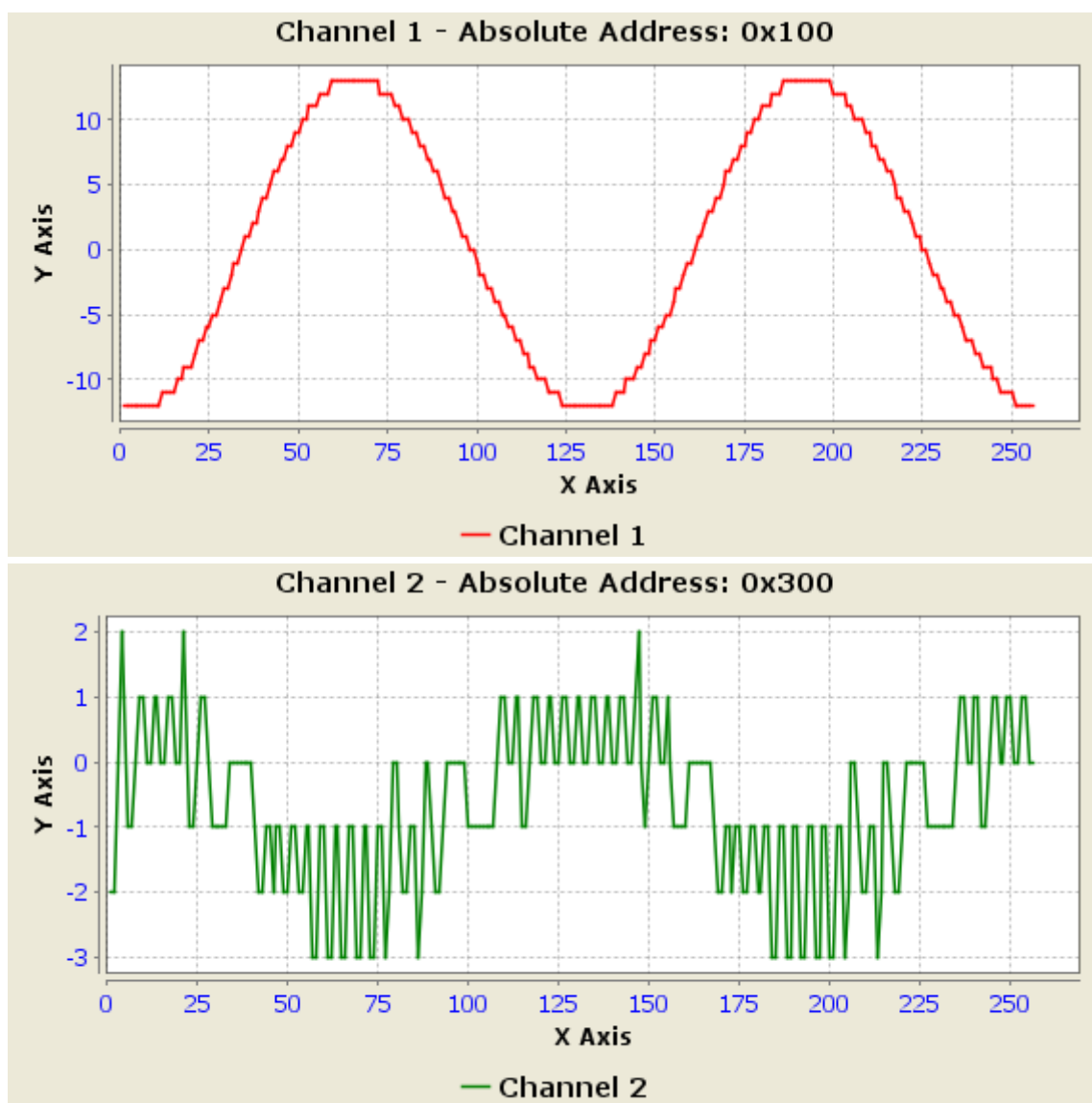


Рисунок 3.1 – Результат оцифровки и обработки сигнала. Частота сигнала 2 Гц.

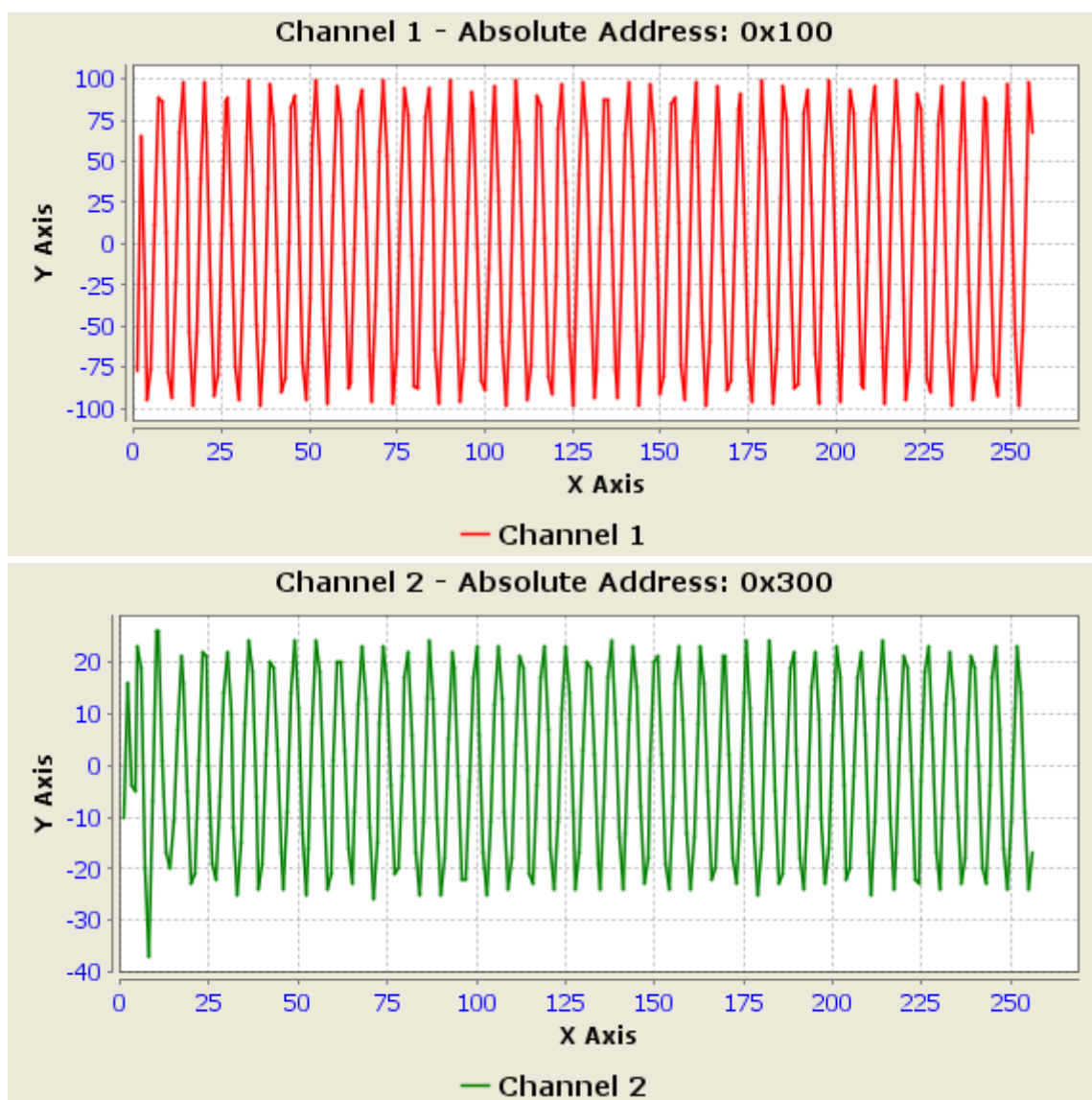


Рисунок 3.2 – Результат оцифровки и обработки сигнала. Частота сигнала 40 Гц.



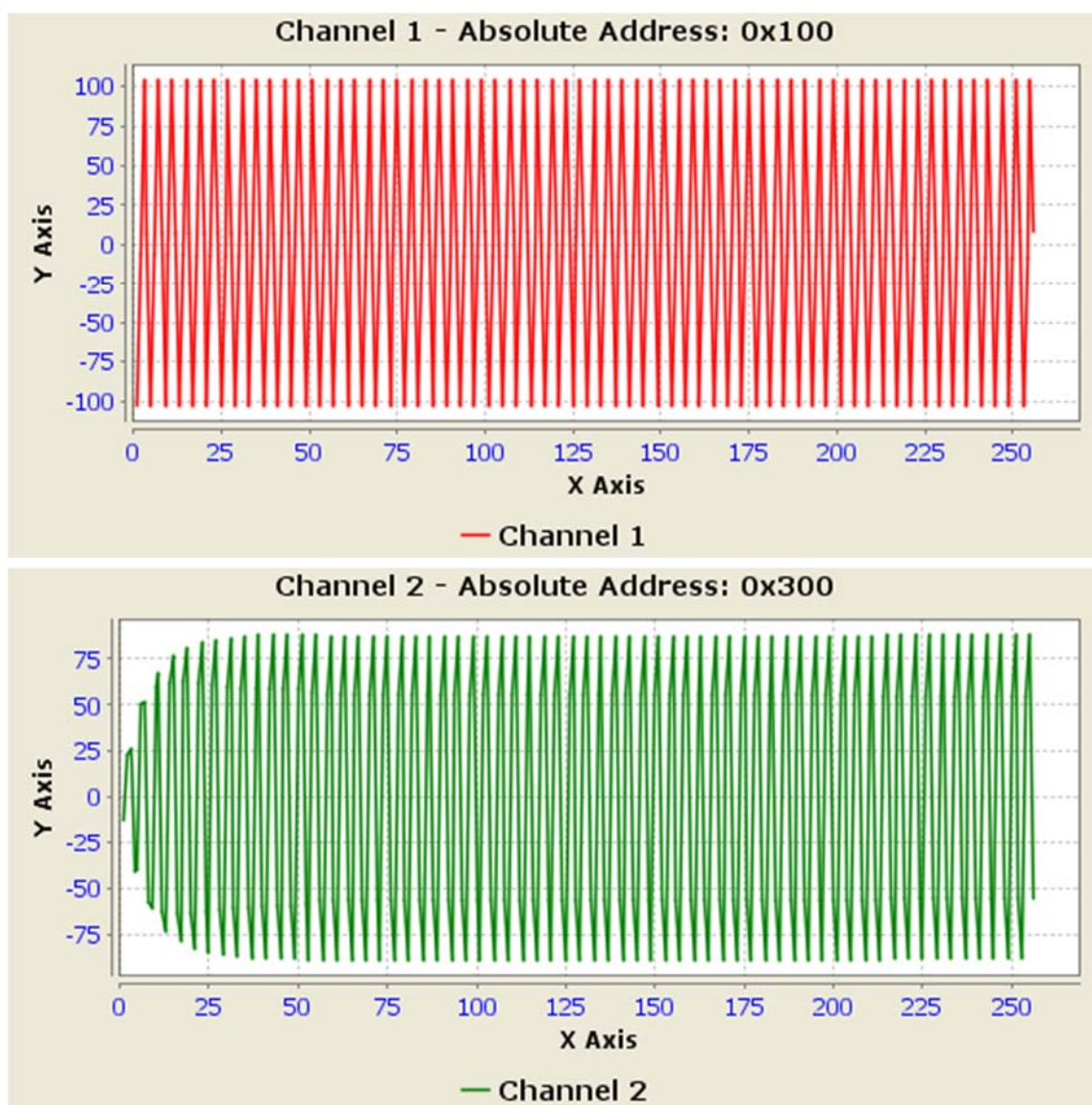


Рисунок 3.3 – Результат оцифровки и обработки сигнала. Частота сигнала 2 Гц.

## ЗАКЛЮЧЕНИЕ

Амплитуда входного сигнала во всех 3 случая (Рисунки 3.1 – 3.3) составляет 2 В, но так как на входе МПС стоит конденсатор и резисторы, они образуют некий фильтр, который меняет амплитуду оцифрованного сигнала. Эти данные полностью совпадают и с теоритическими расчетами, и с симуляцией. Следует, что данная программа работает исправно, и работа продела верно. Время работы АЦП составляет 1 секунда, что и требуется по заданию. Время на обработку массива необходимо в разы меньше, оно составляет 29,387 мс. Если изменить время работы АЦП до уровня обработки сигнала, данная программа будет работать с максимальной скоростью.